

SCHWEIZERISCHER ELEKTROTECHNISCHER VEREIN

Sonder-Abdruck aus dem Bulletin des SEV, Jahrgang 1953, Nr. 8

Experimentelle Untersuchung

über die Streuung der Überschlag- und Ansprechspannungen von Isolatoren, Funkenstrecken und Ableitern unter hohen Stoßspannungen

Von K. Berger, Zürich

621.315.62 : 621.317.32.015.52

Der Autor beschreibt und diskutiert die Resultate von mehrjährigen Messungen der Streuung von Überschlag- und Ansprechspannungen verschiedener Isolatoren, Funkenstrecken und Überspannungsableiter unter Stossbeanspruchung. Bei den Isolatoren und Funkenstrecken liegen die Werte der Überschlagspannung innert einem Streuband mässiger Breite. Bei den Kugelfunkenstrecken zeigen sich anomal hohe und sehr stark streuende Ansprechspannungen, insbesondere bei negativem Stoss, welche solche Funkenstrecken zur Messung einzelner Stoßspannungen als ungeeignet erscheinen lassen. Bei den Ableitern werden bei geeigneter Konstruktion die kleinsten Streuungen erreicht, dies jedoch nur bei ausserordentlich sorgfältigem Abschluss von jeglicher Luftfeuchtigkeit.

Die Auswirkungen der Streuung auf das von der Koordination von Isolation und Ableitern zu verlangende Spannungsintervall zwischen Schutzniveau und Luftniveau werden besprochen, wobei auch auf den Unterschied der Überschlagspannungen einzelner Isolatoren und ganzer Anlagen hinge-

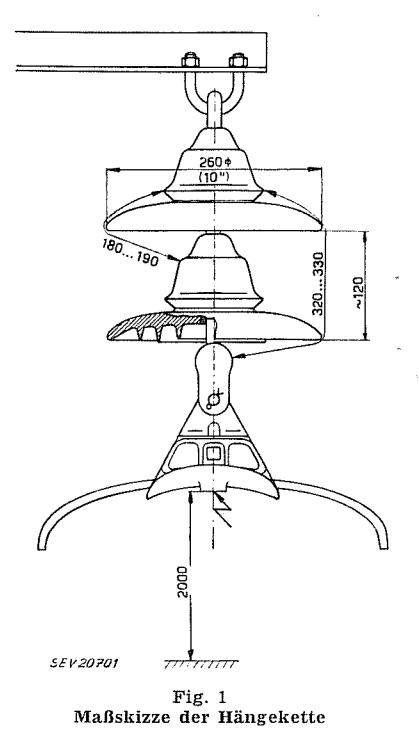
Description et discussion des résultats de mesures, exécutées durant plusieurs années, de la dispersion des tensions de contournement et d'amorçage d'isolateurs, éclateurs et parafoudres soumis à de fortes tensions de choc. Dans le cas des isolateurs et des éclateurs, les valeurs de la tension de contournement ne présentent qu'une bande de dispersion de largeur modérée. Toutefois, les tensions d'amorçage des éclateurs à sphères sont anormalement élevées et présentent une très forte dispersion, surtout pour les chocs négatifs, à tel point que ces éclateurs ne paraissent pas convenir à la mesure de tensions de choc individuelles. Dans le cas des parasoudres de construction appropriée, la dispersion est la plus faible, mais uniquement lorsqu'ils sont très soigneusement protégés contre toute pénétration d'humidité.

Discussion des effets de la dispersion sur l'intervalle de tension exigé par la coordination de l'isolement et des parafoudres, entre le niveau de protection et le niveau d'isolement dans l'air, compte tenu de la différence des tensions de contournement d'isolateurs individuels et d'installations com-

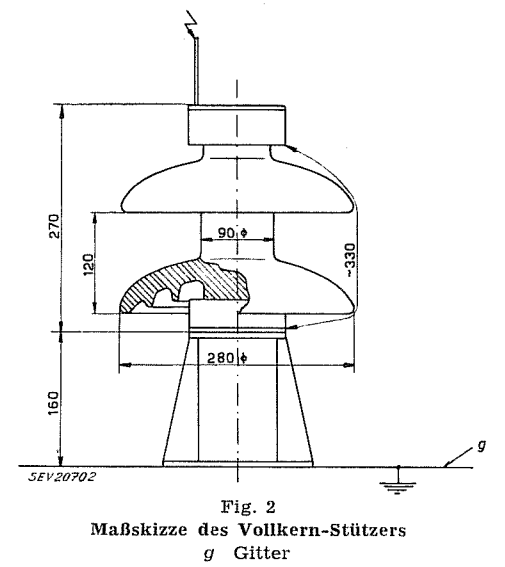
plètes.

1. Allgemeines

Aus der Anregung, Funkenstrecken oder Ableiter als Messinstrumente für den Scheitelwert stossarti-



ger Überspannungen in Hochspannungsanlagen zu benützen, entstand die Frage, wie genau der Zusammenhang zwischen den Einzelwerten der Ansprechspannung unter Stoßspannung und der eingestellten Schlagweite von Funkenstrecken oder



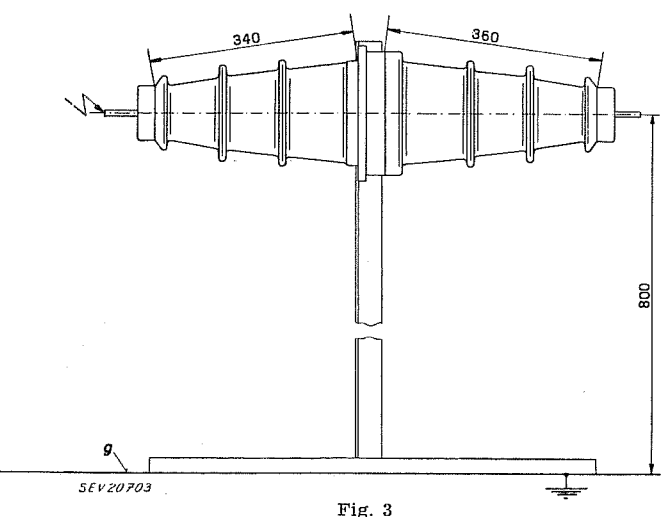
Ableitern ist. In diesem Zusammenhang stellt sich auch die Frage der Streuung der Einzelwerte der Überschlagspannung von technischen Isolatoren bei Stoss.

2. Prüfobjekte

Zur Beantwortung des gestellten Problems wurden von der Forschungskommission des SEV und VSE für Hochspannungsfragen (FKH) zwei Dauerversuche durchgeführt, nämlich:

- 1. Dauerversuch vom Dezember 1945 bis Februar 1948:
- 2. Dauerversuch vom April 1949 bis August 1951.

Bei diesen Dauerversuchen wurde die Ansprechbzw. Überschlagspannung von Ableitern, Funken-



Maßskizze der Innenraum-Durchführung Gitter

strecken und Isolatoren periodisch gemessen. Die untersuchten Isolatoren, Funkenstrecken und Ableiter der 1. Serie zeigen die Fig. 1...6. Es handelt sich um folgendes Material:

Isolatoren

(1. Dauerversuch)

- A) Hängekette aus zwei Kappen-Bolzen-Elementen (Fig. 1);
 - B) Vollkernstützer, Fabrikat Norden (Fig. 2);
 - C) Porzellandurchführung für Innenmontage (Fig. 3).

Funkenstrecken

(1. Dauerversuch)

A) Vertikalachsige Kugelfunkenstrecke, Kugeldurchmesser 250 mm, Schlagweite 60 mm (Fig. 4), Kugeln verchromt, vor jeder Messung gereinigt;

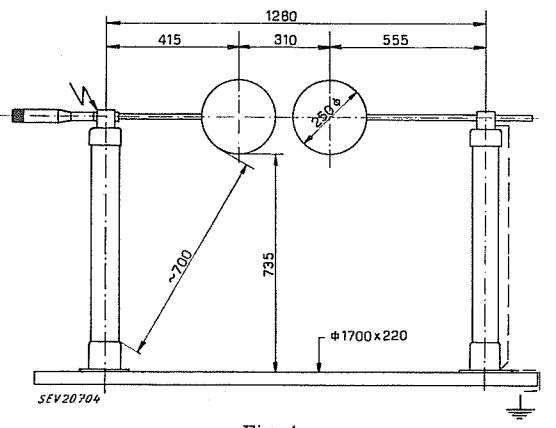


Fig. 4 Maßskizze der Kugelfunkenstrecke mit Kugeln von 250 mm Durchmesser

B) Vertikalachsige Kugelfunkenstrecke, Kugeldurchmesser 125 mm, Schlagweite 60 mm (Fig. 5), Kugeln verchromt, nicht gereinigt über Messperiode;

C) Horizontalachsige Kugelfunkenstrecke, Kugeldurchmesser 125 mm, Schlagweite 60 mm (Fig. 5), Kugeln verchromt, vor jeder Messung gereinigt;

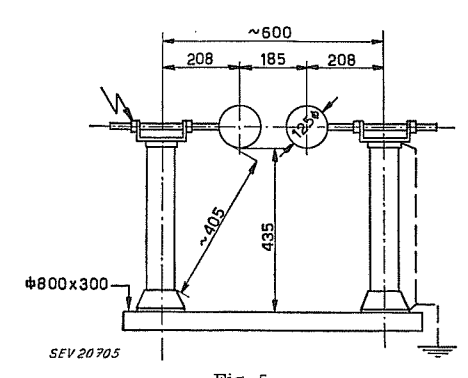
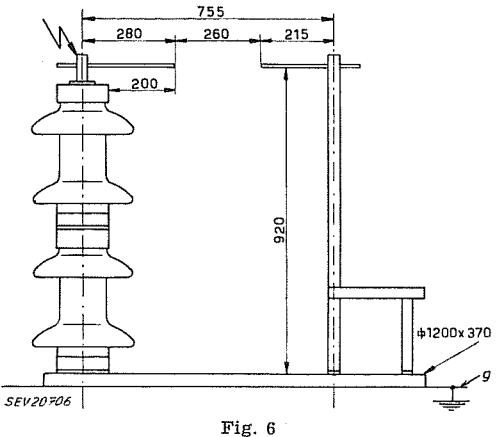


Fig. 5 Maßskizze der Kugelfunkenstrecke mit Kugeln von 125 mm Durchmesser



Maßskizze der Stabfunkenstrecke (Koordinations-Funkenstrecke) g Gitter

D) Koordinations-Stabfunkenstrecke aus 10×10 mm Vierkanteisen, Schlagweite 260 mm (Fig. 6).

Able iter

(2. Dauerversuch)

Da die Resultate der ersten Dauerversuche an Ableitern nicht voll befriedigten, wurde ein zweiter Dauerversuch mit neuem Material durchgeführt. Es handelt sich um folgende Auswahl:

A) 4 normale Überspannungsableiter, 45 kV Nennspannung, 10 000 A Ableitvermögen, Fabrikat A; 1 Spezial-Überspannungsableiter, 45 kV Nennspannung,

10 000 A Ableitvermögen, Fabrikat A;

B) 4 normale Überspannungsableiter, 45 kV Nennspannung, 4000 A Ableitvermögen, Fabrikat B;

1 spezieller Überspannungsableiter, 45 kV Nennspannung,

4000 A Ableitvermögen, Fabrikat B;
C) 4 normale Überspannungsableiter, 45 kV Nennspannung, 10 000 A Ableitvermögen, Fabrikat C; 1 spezieller Überspannungsableiter, 45 kV Nennspannung,

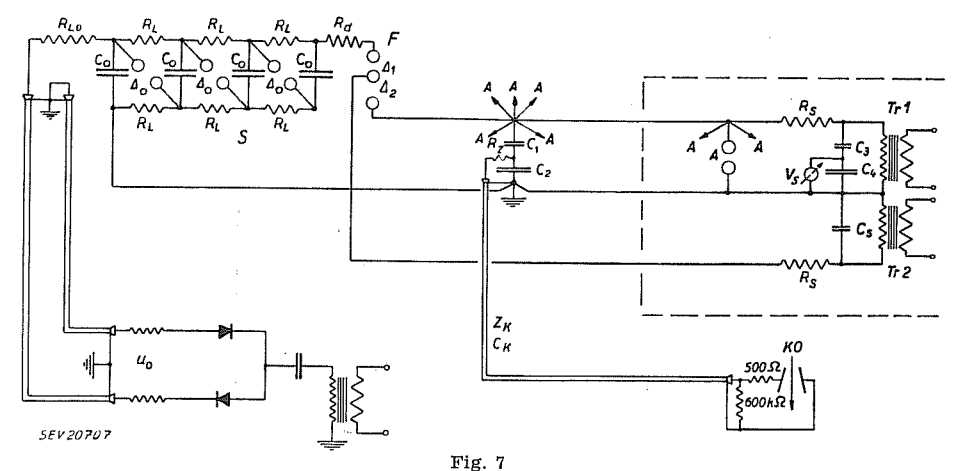
10 000 A Ableitvermögen, Fabrikat C.

Alle drei Fabrikate sind schweizerischen Ursprungs. Die «Spezial-Ableiter» waren von den Herstellerfirmen zur Verfügung gestellt, um Neuerungen im Dauerbetrieb zu untersuchen.

Von den vier normalen Ableitern jeden Fabrikates wurden zwei dauernd unter Wechselspannung von ca. 45 kV gegen Erde gehalten. Die übrigen zwei wurden in freier Luft spannungslos aufbewahrt und im übrigen den gleichen Messungen unterworfen, wie die zwei unter Spannung stehenden Ableiter.

3. Messanordnung und Methode

Die Untersuchung der Streuung von Überschlagspannungen bedingt die oft wiederholte Messung unterworfen und der Überschlagswert oder Ansprechwert mit einem Kathodenstrahloszillographen (KO) bestimmt. Um die betriebsmässige Beanspruchung zu reproduzieren und einen allfälligen Einfluss der Dauerspannung zu erfassen, wurden die Prüfobjekte grundsätzlich dauernd einer Wechselspannung von 50 Hz unterworfen, welcher die zur Messung dienende Prüfstoßspannung in einem



Schema der Stoss- und Messanlage

A Zu prüfender Ableiter und Funkenstrecken (Innen-Zu prutender Abletter und Funkenstrecken (inhen-raum und Freiluft) mit Ansprechspannung u_a Stufenkapazität des Stossgenerators S mit Ladespan-nung u_0 und n Stufen C_0 nung w und w Stuten kapazitiver Spannungsteiler für den Kathodenstrahl-Oszillograph kapazitiver Spannungsteiler für Voltmeter C_1 , C_2 C_3 , C_4 $\stackrel{\circ}{C}_{S}^{s}$ CKSchutzkapazität Kabelkapazität

Schlagweiten der Auslösefunkenstrecke F Д1, Д2 F Synchronisierfunkenstrecke des Stoss-

Kathodenstrahloszillograph Dämpfungswiderstand des Stosskreises, zur Einstellung der Frontsteilheit KO RL, RLo

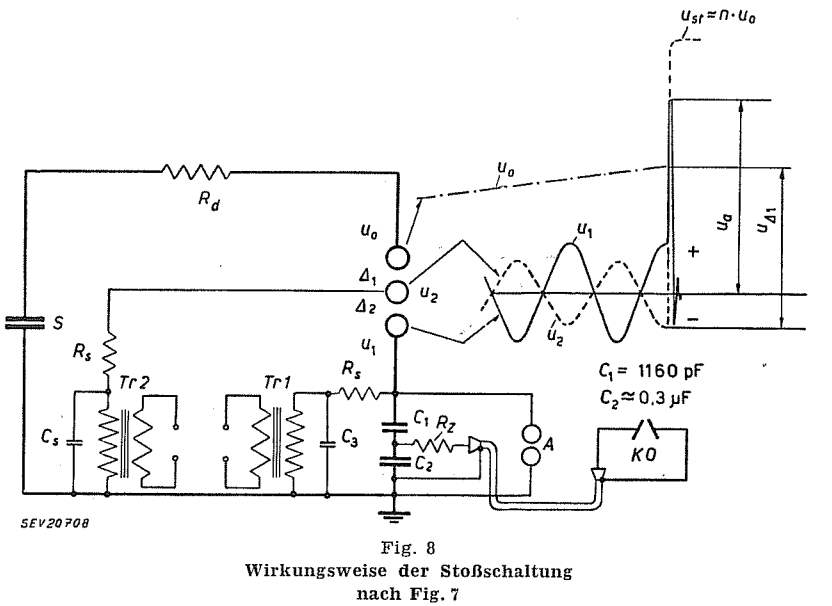
Ladewiderstände Schutzwiderstände zu den Prüftransformatoren

Rs RZ S Abgleichwiderstand

Stossgenerator Prüftransformatoren für 45 kV $\tilde{T}r_1$, Tr_2 Ladespannung

Voltmeter Wellenwiderstand des Messkabels

der Überschlagspannung bei vielen einzelnen Stössen. Aus diesem Grunde scheidet die 50-%-Überschlagspannung als Kriterium zum vorneherein aus, da sie bereits einen Mittelwert, keinen Einzelmesswert darstellt. Somit ergab sich folgende Messwählbaren Phasenmoment überlagert werden konnte. Dieser Phasenmoment wurde auf Grund von Versuchen festgelegt und dann bei allen Messungen beibehalten, um in dieser Beziehung eindeutige Verhältnisse zu schaffen.



Zu prüfender Ableiter und Funkenstrecken mit Ansprechspannung u kapazitiver Spannungsteiler für den Kathodenstrahloszillograph Schutzkapazitäten zu den Prüftransformatoren Tr_1 , Tr_2 C_1 , C_2 transformatoren Tr_1 , Tr_2 Schlagweiten der
Auslösefunkenstrecke
Kathodenstrahloszillograph
Anzahl Stufen des Stossgenerators
Dämpfungswiderstand
Schutzwiderstände zu den
Prüftransformatoren Tr_1 , Tr_2 Abdelehwiderstand 41. 42 KO RzAbgleichwiderstand Stossgenerator ے Tr_1 Transformator für die dauernde Speisung des Prüfobjektes mit Wechselspannung u_1 (50 Hz) Transformator für die Synchroni-sierung des Stosses mit einem wähl-baren Phasenmoment der Wechsel- Tr_2 spannung, gegeben durch die Phasenlage der Spannung u_2 Ladespannung des . **u**o Stossgenerators S
Am Prüfobjekt dauernd
vorhandene Wechselspannung
Wechselspannung für die
Synchronisierung des Stosses u_2 Ansprechspannung des Stosses
Ansprechspannung des
Prüfobjektes A
Spannung, die an 1 zum Durchschlag und damit zur Auslösung des
Stosses führt u_a u_{A_1} Stoßspannung

methode: Jeder zu prüfende Isolator und jede Funkenstrecke wird einer möglichst gleichmässig ansteigenden Stoßspannung (Frontsteilheit ca. 80 kV/µs)

Das Schema der Messanordnung zeigt Fig. 7. Die Wirkungsweise der Schaltung geht aus Fig. 8 herDie Speisung des $Tr.\ 2$ mit Spannungen u_2 verschiedener Phasenlage erlaubt die Wahl des passenden Zündmoments bezüglich der Spannung u_1 . Die Zündung an der Doppelfunkenstrecke F erfolgt stets dann, wenn die Differenz u_0 – u_2 maximal wird, d. h. bei entgegengesetzter Polarität der Lade-Gleichspannung u_0 und Wechselspannung u_2 . Wird u_2 z. B. gegenphasig zu u_1 gewählt, so wird der Stoss dann erfolgen, wenn der Spannungsscheitelwert der Wechselspannung u_1 gleicher Polarität ist, wie jene der Ladespannung u_0 bzw. der Stoßspannung nu_0 . Die Schlagweite d_2 ist so gross gewählt, dass sie erst durch das Ansprechen von d_1 zum Überschlag kommt.

Die im folgenden beschriebenen Versuche wurden stets mit jener Überlagerung des Stosses durchgeführt, bei welcher der Stoss beim Scheitelwert der Wechselspannung gleicher Polarität erfolgt. Die Präzision der Synchronisierung ist bei dieser Schaltung nicht sehr gross, genügt aber vollkommen für den vorliegenden Zweck, da es sich nur darum handelt, die sonst spürbare Streuung der Ansprechspannungen infolge verschiedener Phasenlagen zu vermeiden.

Um im geradlinigen Teil der Spannungsfront zu bleiben, wurde durchwegs eine überschiessende Stoßspannung von 500 kV gewählt. Die Spannungsmessung mit dem KO erfolgte stets mit einem sehr sorgfältig ausgebildeten kapazitiven Teiler. Seine Genauigkeit und Messfehler wurden vorgängig der Streuungsmessungen genau unter-

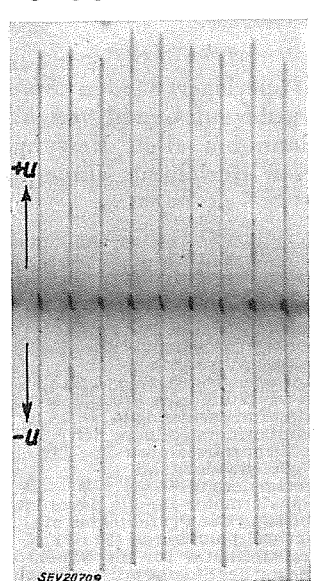
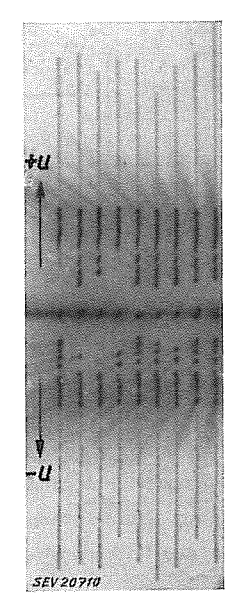


Fig. 9
Beispiel eines
Oszillogrammes der
Überschlagspannungen der
Kette in Fig. 1
9 positive und 9 negative
Stösse

sucht, samt den Fehlern des ca. 50 m langen Verzögerungskabels (Luftisolation mit Polystyrol-Perlen, Innenleiter Cu 5 mm Durchmesser, Aussenleiter Cu 18 mm Durchmesser, mit Bleimantel, Fabrikation Kabelwerke Brugg A.-G.). Der Teiler war während beider Dauerversuche genau derselbe.

Die Methode zur Bestimmung der Streuung jedes Prüfobjektes war nun folgende:

Die Prüfobjekte wurden, soweit es sich um Freiluft-Apparate handelte (Hänge- und Stützisolatoren, alle Ableiter und die Stabfunkenstrecke) in Freiluft aufgestellt, die Innenraumapparate (Durchführung, alle Kugelfunkenstrecken) in einer Garage der Prüfstation Gösgen der FKH. Ein Transformator hielt die Objekte dauernd unter einer Effektivspannung von ca. 45 kV gegen Erde. Für die Messung der Überschlagstoßspannung oder Ansprechspannung wurde ein Prüfobjekt nach dem andern mit einem Verbindungsdraht von 3...5 m Länge an den Spannungsteiler angeschlossen, gestossen und gemessen. Messungen wurden, wenn keine beson-



dern Gründe für eine Abweichung vorlagen, alle 2...3 Wochen durchgeführt, und zwar wurde jedes Objekt 10mal mit positiver Spannung und 10mal mit negativer Spannung gestossen. Bei je einem Stoss wurde das Oszillogramm von Auge beobachtet und 9mal wurde es photographisch festgehalten. Eine solche Messreihe bezeichnen wir als Mess-

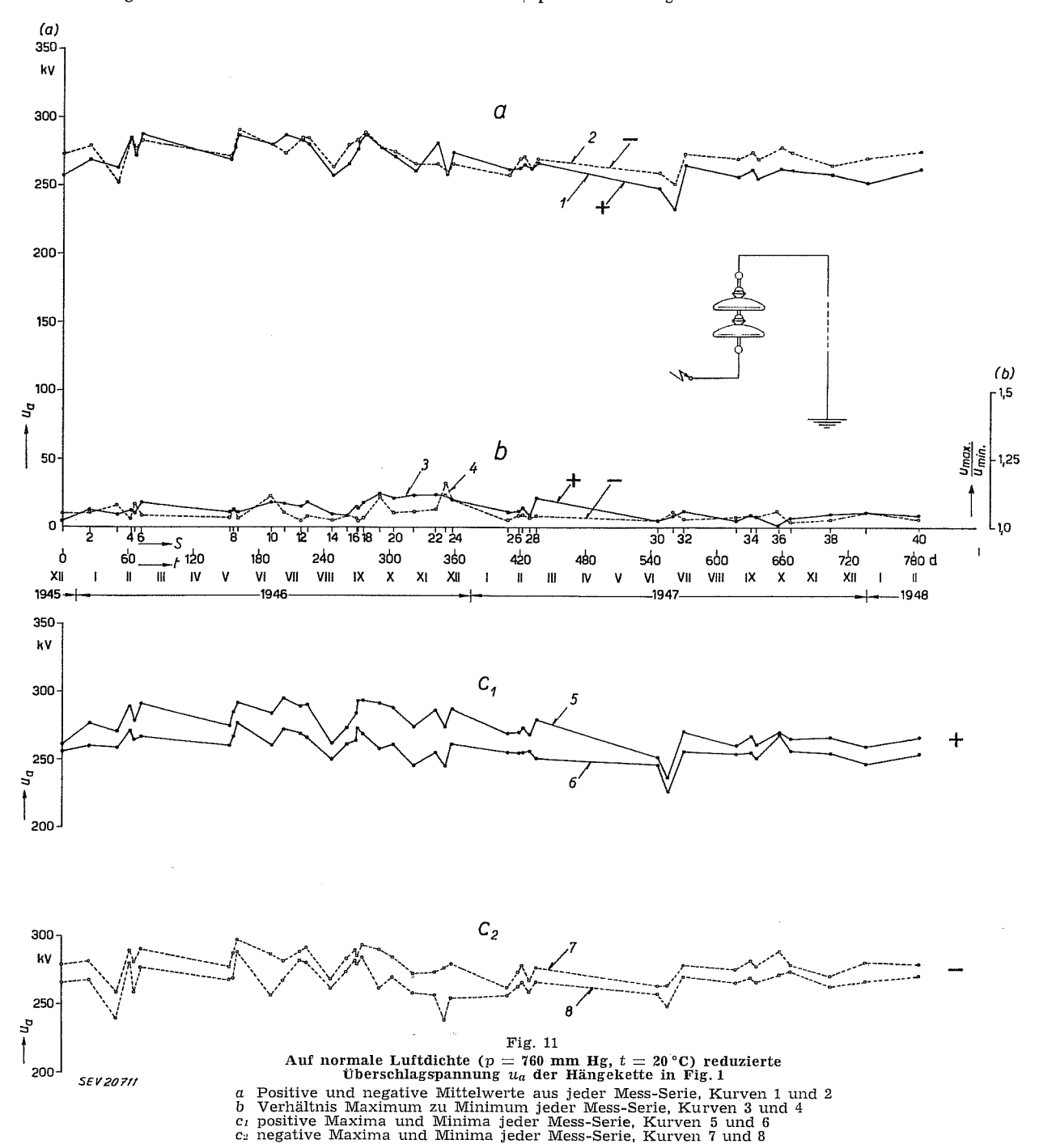
Fig. 10

Beispiel eines Oszillogrammes der
Ansprechspannungen eines Ableiters
9 positive und 9 negative Stösse
Die dünneren Linien zeigen die
Grösse der Ansprechspannungen,
die dickeren die Grösse der
Resispannungen

Serie. Um Photopapier zu sparen, wurde bald dazu übergegangen, diese Oszillogramme ohne Zeitablenkung aufzuzeichnen, d. h. nur mit der Ordinatenablenkung durch die zu bestimmende Spannung. Auf diese Art war es möglich, 9 positive und 9 negative Stossmessungen auf der Photopapierbreite des KO (150 mm) nebeneinander festzuhalten (Fig. 9). Jede der 9 Aufzeichnungen ist mittels einer festen Hilfsspannung einige mm gegenüber der vorangehenden versetzt. Die Amplituden der einzelnen Stösse erscheinen derart unmittelbar nebeneinander und lassen augenfällig die Einzelstreuung erkennen.

Dieses Verfahren ist zulässig, weil die Steilheit der Spannungsfront bei konstanter Ladespannung u_0 des Stossgenerators fast ausschliesslich durch die Kapazität des Spannungsteilers und den Dämpfungswiderstand gegeben ist, so dass sie für alle Objekte dieselbe ist und mit der Zeit nicht ändert.

Bei den Überspannungsableitern ist es ausserdem möglich, aus der verschieden starken Schwärzung des Oszillogrammstriches auch die Grösse der Restspannung zu erkennen. Ein Beispiel ist in Fig. 10 gegeben. Da nämlich die Ansprechspannung sehr rasch erreicht wird und die Spannung im Ableiter dann sofort auf die Restspannung zusammenbricht, wo sie wegen der ventilartigen Charakteristik des Widerstandes während der Dauer des Stoßstromes verbleibt, kommt die Restspannung als dunkler Strich zum Vorschein gegenüber der schwach geschriebenen Ansprechspannung. Diese Beobachtung liefert uns nebenbei eine wertvolle Kontrolle für die Konstanz der Spannungsteilung, weil die Restspannung bei gleichem Stoßstrom und gleicher Temperatur des Widerstandes erfahrungsgemäss sehr wenig ändert. Die Bilder zeigen denn auch deutlich die Variation der Ansprechspannung bei konstanter Restspannung bei unmittelbar aufeinanderfolgenden Stössen. dieser Streuung ergibt sich z. B. aus dem Verlauf der maximalen und minimalen gemessenen Spannung einer Serie oder aus dem Verhältnis der beiden. Diese Streuung wollen wir hier als *Streuung pro Mess-Serie* bezeichnen und zwar für positive und negative Stösse.



S Nummer der Mess-Serie; t Zeit

4. Auswertung und Darstellung der Resultate

Für die Auswertung sind zunächst verschiedene Begriffe von Streuung zu definieren:

- 1. Die Abweichung der einzelnen Messungen einer bestimmten Polarität gegenüber dem Mittelwert der Gesamtheit aller Messungen eines Dauerversuches von zwei Jahren.
- 2. Die Abweichung der einzelnen Messungen ein und derselben Mess-Serie (eines und desselben Messtages) untereinander. Dazu stehen jeweils die Resultate von 9 positiven und 9 negativen Messungen zur Verfügung. Ein grobes Bild

3. Die Veränderung der Mittelwerte der einzelnen Mess-Serien über die Versuchsdauer von ca. 2 Jahren. Die Mittelwerte können dabei als arithmetische oder quadratische Mittelwerte berechnet werden, und zwar ebenfalls getrennt für die Messungen mit positiven und negativen Stoßspannungen.

Zunächst wollen wir die arithmetischen Mittelwerte aus je 9 Messungen einer Serie und Polarität benützen und bezeichnen die Abweichungen der Mittelwerte der einzelnen Serie im Vergleich zum Gesamtmittelwert als die Streuung der Mittelwerte im Verlauf von 2 Jahren. Bei dieser letztern Art Streuung sind die international anerkannten Korrekturen der Überschlagspannungen hinsichtlich der Luftdichte

(Barometerstand und Temperatur) berücksichtigt worden. Dagegen sind für die variable Luftfeuchtigkeit keine Korrekturen gemacht worden, weil die Grösse dieser Korrekturen nicht sicher bekannt ist.

Somit ergibt sich eine 1. Art der Darstellung unmittelbar aus folgenden Aufzeichnungen:

massgebenden Werte finden sich in folgenden Figuren zusammengestellt:

Fig. 11...13 für die 3 untersuchten Isolatoren;

Fig. 14...17 für die untersuchten Stab- und Kugelfunkenstrecken;

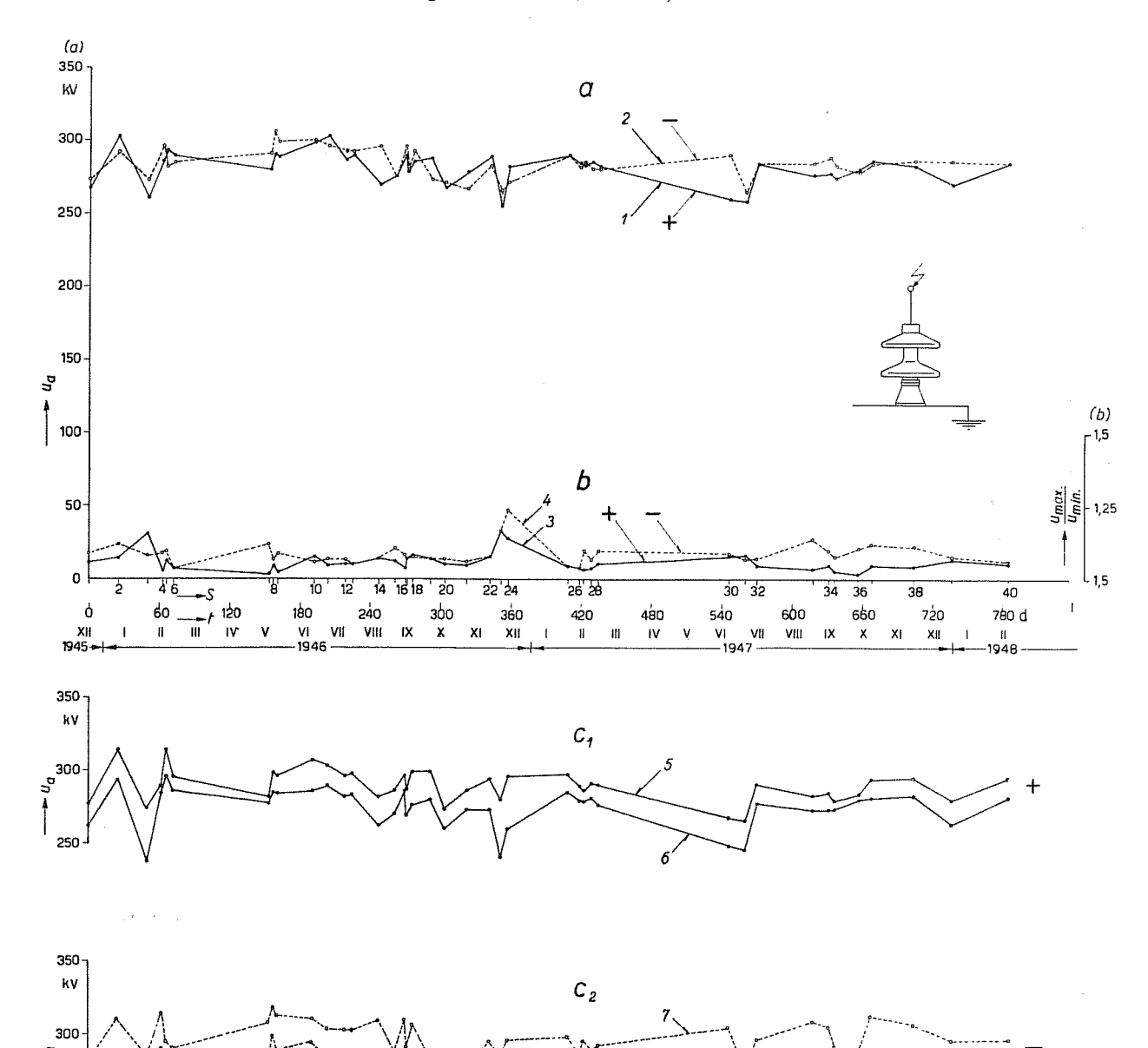


Fig. 12 Überschlagspannung des Stützers in Fig. 2 a, b, c wie in Fig. 11

a) Der Verlauf der auf normale Luftdichte reduzierten Mittelwerte der Mess-Serien in Funktion der Versuchsdauer, für positive und negative Stoßspannungen;

250

SEV 20712

b) Der Verlauf des Verhältnisses von Maximalwert zu Minimalwert jeder einzelnen Mess-Serie für positive und negative Stoßspannung, wie sie in c) dargestellt sind;

c) Der Verlauf der maximalen und minimalen Werte der einzelnen Mess-Serien für positive und negative Stoßspannungen in Funktion der Versuchsdauer (2 Jahre).

Diese drei für die Streuung der Mittelwerte (a) und für die Streuung pro Mess-Serie (b und c) Fig. 18...23 für die untersuchten 45-kV-Ableiter, wobei hier auf die Darstellung c) verzichtet und nur a) und b) dargestellt wurden.

5. Diskussion der Resultate

Aus den Fig. 11...23 ist zunächst vor allem ersichtlich, dass im Verlauf von zwei Jahren bei den mehr als 600 Oszillogrammen pro Messobjekt ganz beträchtliche Schwankungen der Überschlag- und Ansprechspannungen vorkommen. Für die Innenraum-

apparate kommt als Ursache einer Streuung zunächst die veränderliche Luftfeuchtigkeit in Frage, für Freiluftapparate ausserdem Regen, Schnee, Tau und Rauhreif.

Zur Feststellung eventueller Zusammenhänge mit dem Luftzustand sind in den Tabellen I und II Lufttemperatur und Barometerstand und der sich ergebende Korrekturfaktor k über die Zeit des

ersten Dauerversuchs (Isolatoren und Funkenstrekken) aufgetragen, sowie die absolute und relative Luftfeuchtigkeit im Freien und im geschlossenen Messraum der Innenraum-Prüfobjekte. Wo 2 Werte angegeben sind, bezieht sich der erste auf den Luftzustand vor dem Beginn der Mess-Serie, der zweite nach Abschluss der Mess-Serie. Als Abszisse ist genau wie in den Fig. 11...23 das Datum der Messung und die Nummer der Mess-Serie gewählt. Schliesslich sind die für die Versuchsstation Gösgen gültigen Wetterdaten vor Beginn jeder Mess-Serie des ersten Dauerversuches in Tabelle III zusammengestellt.

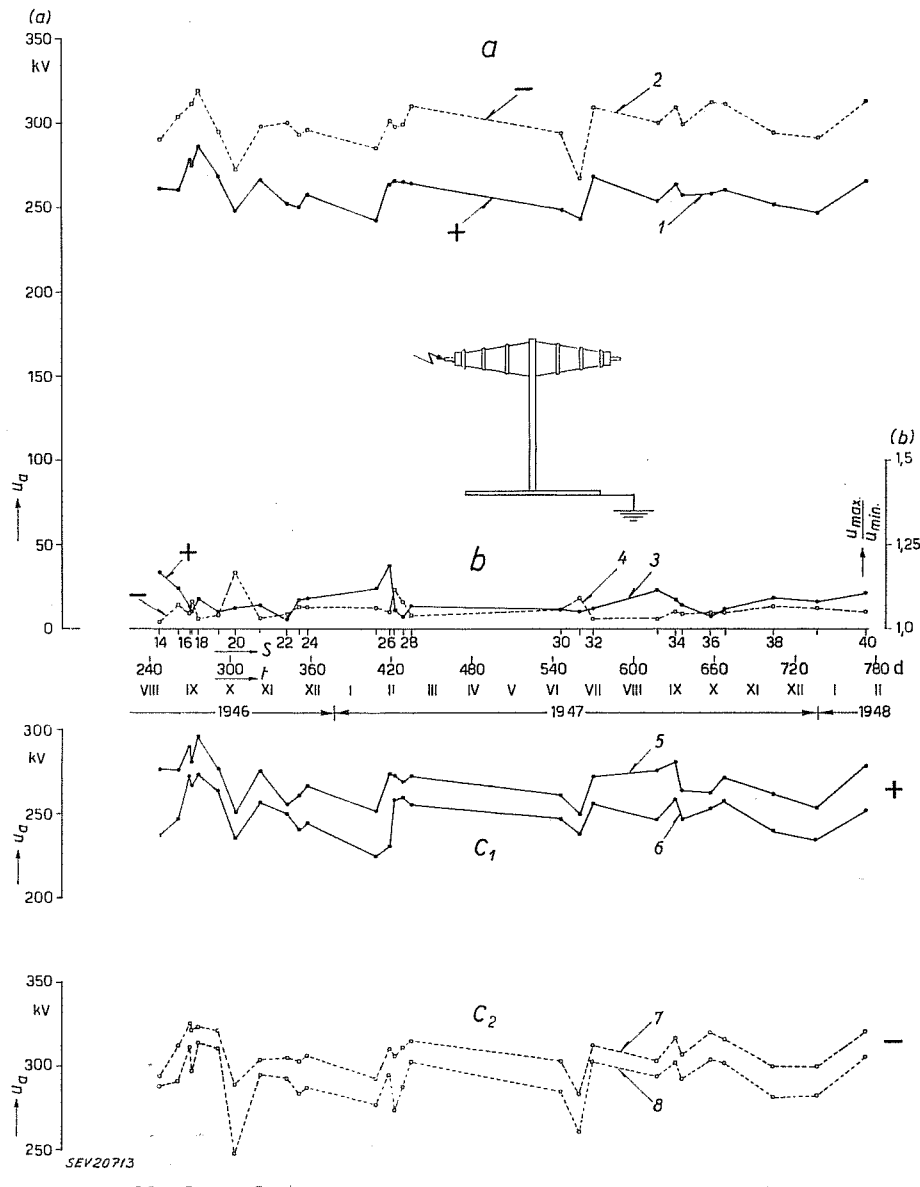
Eine Untersuchung des Einflusses z. B. der Luftfeuchtigkeit auf die Überschlag- und Ansprechspannungen auf Grund der

Korrelationstheorie wurde nicht durchgeführt. Die Betrachtung der Kurven lässt einen solchen Zusammenhang nicht erkennen.

> Fig. 13 Überschlagspannung der Durchführung in Fig. 3 a, b, c wie Fig. 11

sofort ein Bild über die prozentuale Abweichung der Ansprechspannungen zu bekommen.

Aus den Kurven 1) und 2) ergibt sich folgendes: Nach der Gaußschen Wahrscheinlichkeitstheorie ist als Häufigkeitskurve der verschiedenen Einzelwerte eine mathematisch genau definierte sog. Glockenkurve zu erwarten 1). Diese Häufigkeitskurve ist festgelegt durch die Funktion



Die Darstellung der Messwerte eines Objektes als Häufigkeitskurve drängt sich auf. Unter Häufigkeitskurve ist dabei zu verstehen die Darstellung der innert eines Spannungsintervalles von z. B. 2 kV festgestellten Anzahl Ansprechungen über der Spannung. In den Fig. 24...36 wurde die Anzahl Ansprechungen bzw. Überschläge in bestimmten Spannungsintervallen als Ordinate aufgetragen. So ergaben sich die Kurven folgender Figuren:

1) Fig. 24...26 für die 3 Isolatoren, Stützer, Hänger und

Durchführung;
2) Fig. 27...30 für die Stab- und Kugelfunkenstrecken;
3) Fig. 31...36 für je 2 Ableiter eines jeden der 3 Fabriser die Abszisse der Mittelwert M und kate. In diesem Fall ist die Abszisse der Mittelwert M und die beiden Spannungspunkte 0,9 M und 1,1 M angegeben, um

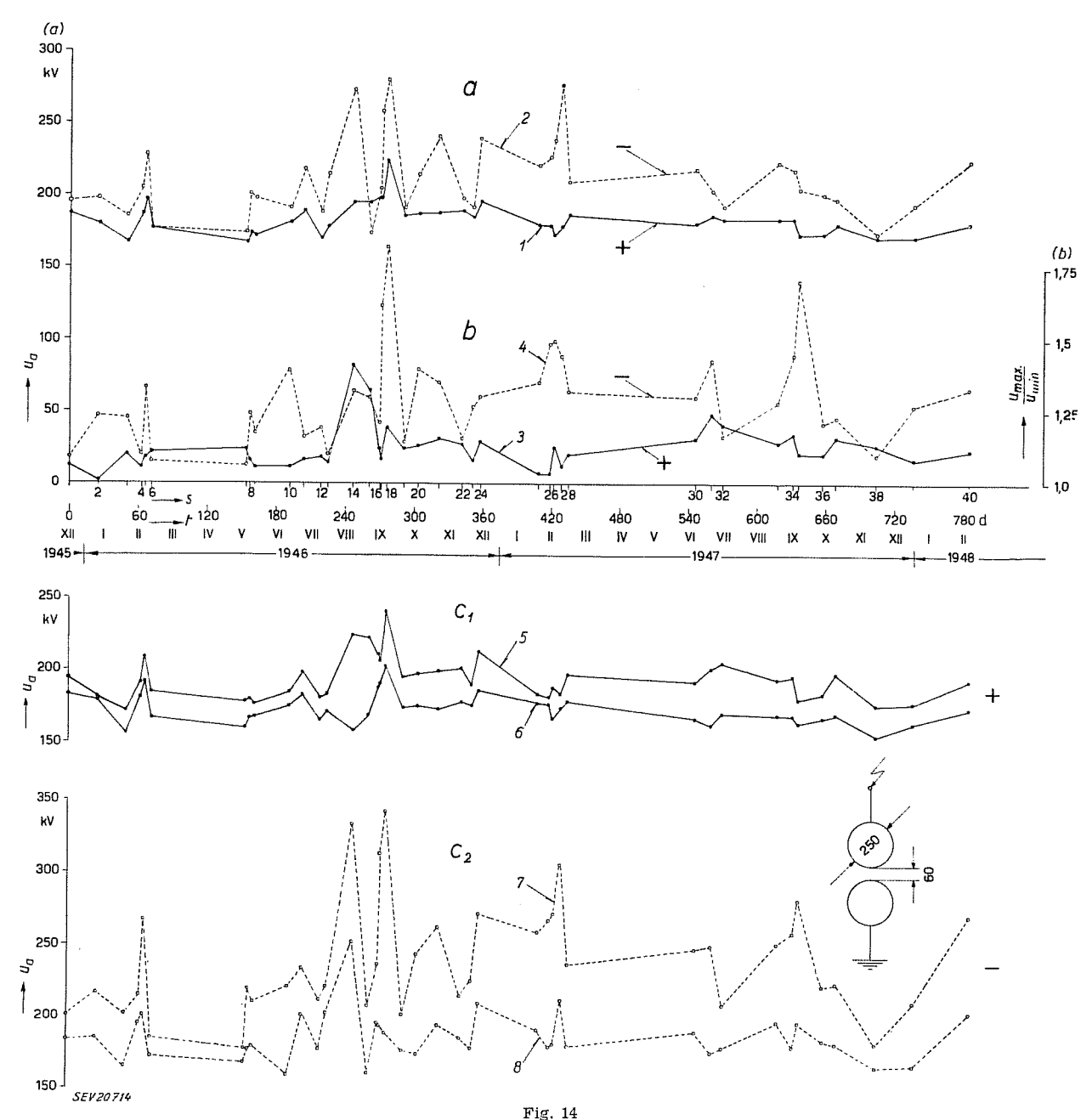
$$f(v) = \frac{1}{s\sqrt{2\pi}} e^{-\left(\frac{v-v_m}{\sqrt{2}s}\right)^2} \tag{1}$$

Es zeigt sich nun, dass die Verteilungskurven (Häufigkeitskurven) der Messwerte unter 1) und 2) durchaus nicht der Gaußschen Verteilung entsprechen, d. h. aber, dass irgendwelche systematische äussere Einflüsse auf die Überschlag- oder Ansprechspannung einwirken, die wir bei den Versuchen nicht erfassen konnten.

¹) vgl. Morel, Ch.: Mathematische Statistik und Tarifwesen II. Bull. SEV Bd. 39(1948), Nr. 6, S. 161...174.

Die Abweichung von der idealen Glockenkurve ist merkwürdigerweise bei den Kugelfunkenstrecken von 250 mm Durchmesser und 60 mm Schlagweite bei negativer Stosspolarität am grössten. Schon die entsprechende Kurve als Zeitfunktion der Fig. 14 zeigt ganz ausserordentlich grosse Schwankungen

Kugeln vor jeder Messung sorgfältig gereinigt wurden, zeigt ein wesentlich breiteres Streuband (Fig. 29) als die gleiche vertikalachsige Funkenstrecke, deren Kugeln nie gereinigt wurden (Fig. 28). Die grosse Streuung tritt ganz vorwiegend bei negativer Stoßspannung auf. Die Isolato-



Auf normale Luftdichte (760 mm Hg, 20 °C) reduzierte Ansprechspannung der Kugelfunkenstrecke von 250 mm Durchmesser in Fig. 4

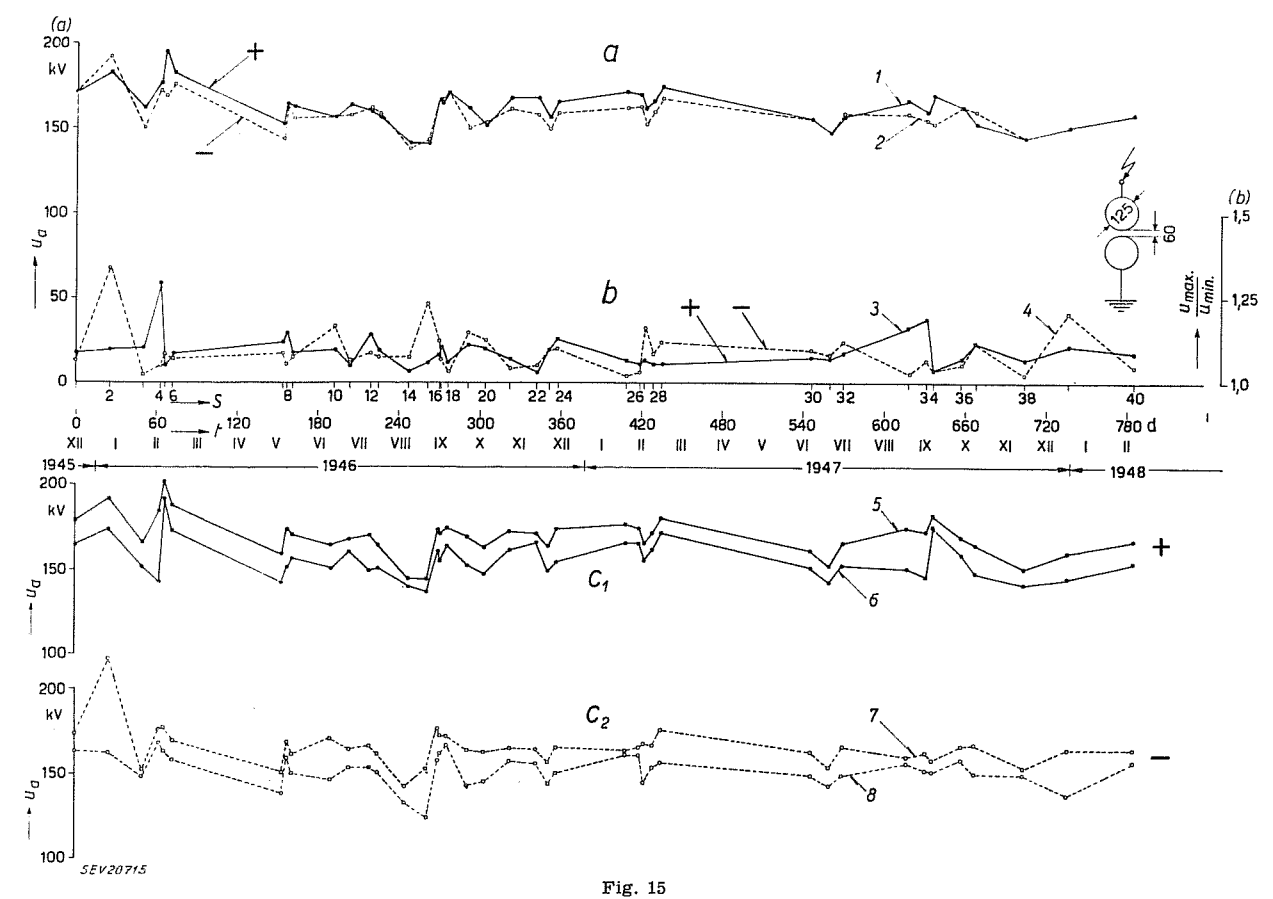
a, b, c wie in Fig. 11

der Ansprechspannung dieser Funkenstrecke, welche zunächst nur zeigt, dass eine solche Kugelfunkenstrecke, trotzdem sie bei der günstigsten Schlagweite arbeitet, für Stossmessungen durchaus unbrauchbar ist.

Auffällig ist ferner das breite Streugebiet der Kugelfunkenstrecken von 250 mm und 125 mm Durchmesser, 60 mm Schlagweite für negativen Stoss. Die horizontalachsige Funkenstrecke, deren

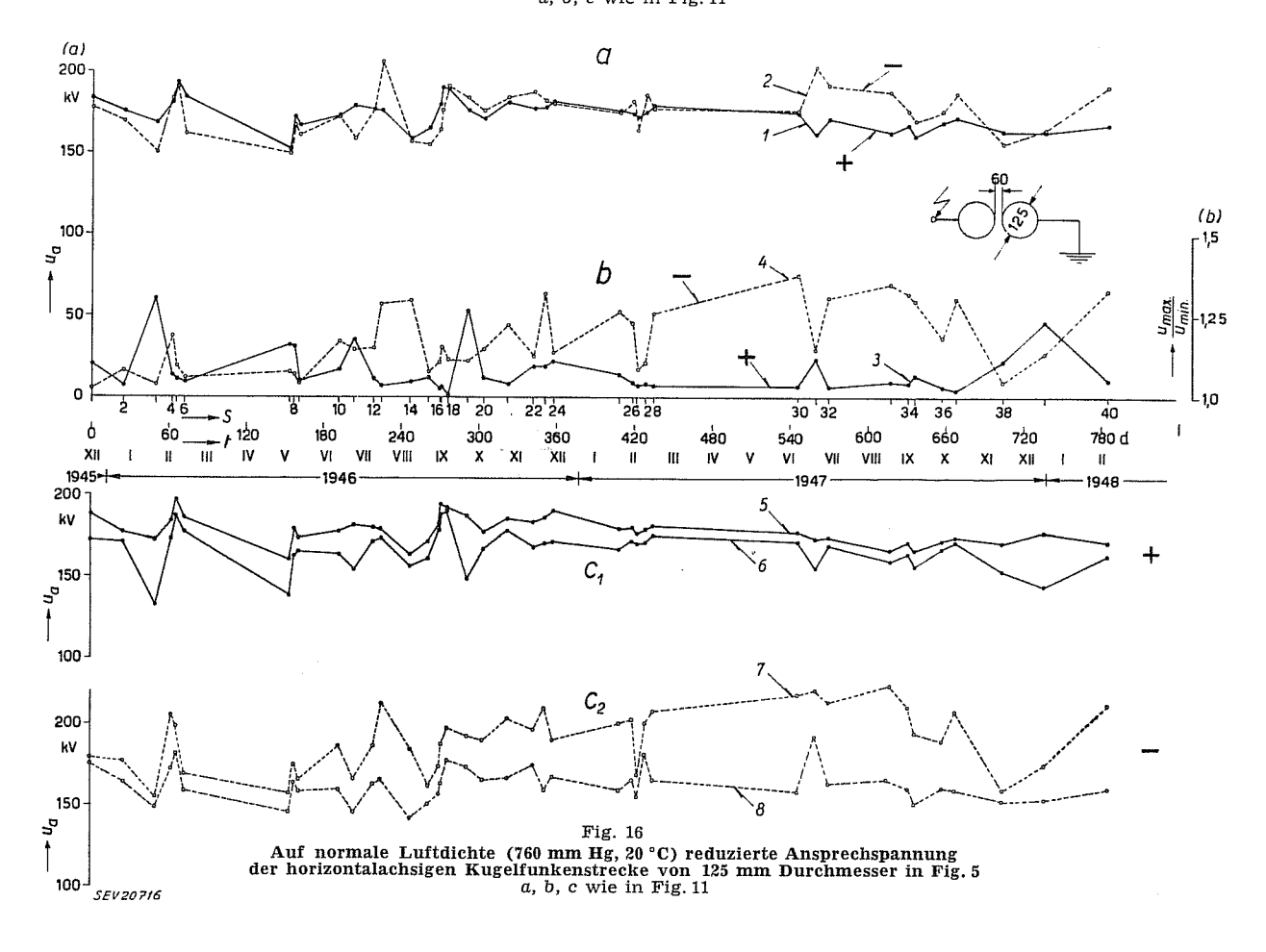
ren wie auch die Stabfunkenstrecke zeigen den bekannten Polaritätsunterschied der Überschlagspannungen, aber im übrigen weniger Unregelmässigkeiten als die Kugeln. Nur beim Hängeisolator ist auch eine starke Einsattelung der positiven Häufigkeitskurve ersichtlich, die auf einen unerfassten Einfluss hinweist.

Aus den Kurven 3) ergibt sich zunächst ein nur kleiner Einfluss der Polarität auf die Ansprech-



Auf normale Luftdichte (760 mm Hg, 20 °C) reduzierte Ansprechspannung der vertikalachsigen Kugelfunkenstrecke von 125 mm Durchmesser in Fig. 5

a, b, c wie in Fig. 11



_	
te	
ä	
ã	
ad	
Ā	
٠,	
ē	
=	
ite	
e e	
£,	
7	
4	
-37	
il	
۳,	
Ŧ	
in	
.1.	
lie	
ŗ	
Ë	
fü	
ltig	
===	
\ddot{c}	
<	
<u></u>	
Ŧ	
Ï	
١.	
de	
17	
0	
A.	
tij	
ch	
п	
H	
q	
3	
3	
uck	
7	
Ö	
he	
such	
્રંક	
7	
19	
ĕ	
'n	
ы	
hī	
.0	
3	
se	
.52	
tı	
äl	
Ę	
ĕ	
S	
'n	
2	
6	
.77	
A	

				Lifttemnorotur	Reremetered	Korrokturfaktor	Luftfeuchtigkeit	htigkeit	
	Versuchsdatum	Zeit	Witterungsverhültnisse während der Versuche	,c		k	g/m³	. %	Bemerkungen
	19. Dez. 45	16.1018.00	Schön; dann Nebel. Schwacher Westwind	2,5	712	1,0	5,4	100	Gültig für:
2	14. Jan. 46	19.3016.00	Regen: dann bedeckt. Starker Westwind	7	728	1,005	7.6	100	Ableiter
	6. Febr. 46	18.2021.05	Regen, Starker Südwestwind	. 44 &	729	1,015	66.5	95100	Kette
	19. Febr. 46	15.4017.50	Bedeckt; dann Regen. Mittelstarker Südwestwind	9.0	729	1,005	5.4	75	Stützer
	22. Febr. 46	09.5512.00	Bedeckt. Mittelstarker Westwind	01.2	727.5	1.0281.023	4.24.4	8595	Stabfunkenstrecke
	28. Febr. 46	14.3017.20	Bewölkt, Schwacher Föhn	12.3	734	0,995	5,9	55	
7	21. Mai 46	11.0014.30	Regen; dann bedeckt. Schwacher Ostwind	14,117.5	727	196,0716,0	10,69,01	8565	
8	24. Mai 46	13.5016.20	Bedeckt, Schwacher Südwestwind, Gewitter	19,219,7	722720	0,9530,950	1010,8	6065	
6	28. Mai 46	17.2019.30	Bewölkt, Schwacher Südwestwind	24,420	724723	0,9400,953	79,5	3255	Erster Wert:
10	28. Juni 46	17.2019.15	Schön, Schwacher Südwestwind	26,824	730	0,9420,950	12,211,8	4755	Am Anfang der Versuche
11	10. Juli 46	16.3018.40	Sehr schön, Mittelstarke Bise	26,824,6	733	0,9450,953	1011	3947	
12	25. Juli 46	10.4012.20	Bedeckt. Mittelstarker Südwestwind	2625	731	0,945	13,615,9	5570	
13	31. Juli 46	15.2017.15	Bewölkt. Mittelstarker Südwestwind	26,426	730	0,945	12,512,7	5052	Zweiter Wert:
14	22. Aug. 46	15.2517.50	Schön. Schwache Bise	15,515,7	732	0,975	7,97,6	9299	Am Ende der Versuche in
15	5. Sept. 46	15.5018.00	Bedeckt. Schwacher Südwestwind	17,816,2	725	0,9630,968	1312,9	8590	«Freiluft»
16	14. Sept. 46	11.2015.00	Schön. Schwache Bise	17,523,8	729727	0,9700,945	10,111,9	6855	
17	15. Sept. 46	10.1512.30	Bedeckt, Starker Südwestwind	14,516,2	729730	0,9800,975	6,89,6	7565	
	20. Sept. 46	15.1017.35	Sehr schön. Mittelstarker Südwestwind	2321	723722	0,9430,948	1213,3	5772	
19		10.0012.05	Bedeckt. Starker Südwestwind	12,314	728	0,9850,980	8,99,4	8278	
20		10.2512.20	Nebel, Schwache Bise	7,48,4	730	1,0051,0	7,2	9387	
	5. Nov. 46	15.0016.30	Bewölkt. Starke Bise	7,56,9	736	1,0121,015	4,95	6566	
	25. Nov. 46	15.1016.35	Bedeckt. Neblig. Schwacher Südostwind	8,86,1	725	1,01,003	5,95,7	7780	
23	4. Dez. 46	15.3518.40	Nebel. Sehr schwacher Ostwind	3,0	717,5	1,0	4,84,7	8889	
24	11. Dez. 46	15.3517.05	Leichter Nebel. Schwacher Südwestwind	3,83,2	725	1,010	5,35,0	8890	
25	31. Jan. 47	15.3517.00	Schön. Neblig. Schwache Bise	0,61,0	722	1,020	2,32,2	4851	
26	10. Febr. 47	16.2517.40	Bewölkt. Schwacher Südwestwind	5,94,2	717718	0,9931,0	4,85,0	6982	
27	13. Febr. 47	16.0017.15	Hochnebel. Schwacher Ostwind	0	721	1,020	3,94,0	8587	
28	20. Febr. 47	15.5017.05	Bewölkt. Neblig. Schwacher Westwind	-0,30	719	1,018	ر	92	
29	26. Febr. 47	15.4017.00	Sehr schön. Starke Bise. Tauwetter	1,00,2	723	1,020	2,9	6063	
30	17. Juni 47	16.0517.30	Sehr schön, Mittelstarke Bise	24,623	729	0,9470,950	5,65,3	25	
31	1. Juli 47	10.1011.40	Bedeckt; dann Regen. Mittelstarker Westwind	19,5	730	0,964	11,113,6	6580	
32	11. Juli 47	16.1518.00	Platzregen. Starker Südwind	17,5	726	0,965	12,611,5	8477	
33	29. Aug. 47	15.5018.05	Bewölkt. Mittelstarke Bise	25,824,6	729	0,9430,948	77	2934	
34	10. Sept. 47	15.1517.30	Schön. Mittelstarker Südwestwind	28,526,2	731,5	0,9360,945	9,410,2	3541	
35	15. Sept. 47	15.1017.20	Sehr schön. Mittelstarke Bise	31,129,7	730,5729,5	0,9270,932	8,79,0	2730	
36	6. Okt. 47	15.5018.10	Sehr schön. Schwache Bise	22,315	730	0,9550,980	8,510,8	4582	
37	17. Okt. 47	11.0015.15	Bewölkt; dann bedeckt. Schwacher Südwestwind	16,415,7	733732	0,978	7,77,8	5557	
38	21. Nov. 47	11.3015.50	Bedeckt; dann schön. Schwacher Westwind	9,811,1	738	1,0081,0	8,2	8982	
39	23. Dez. 47	11.2015.30	Bedeckt. Mittelstarker Südwestwind	4,25,1	733	1,0201,018	5,55,1	9077	
4.0	10 E.L. 40	OF EF LF LF			001				

Witterungsverhältnisse während der Versuche. Druck und Feuchtigkeit der Luft. (Gültig für die in der Garage aufgestellten Apparate)

				1	r .	1, 61.	Luftfenchtiøkeit	htjøkeit	
Nr.	Versuchsdatum	Zeit	Witterungsverhältnisse während der Versuche	Lutttemperatur	parometerstand mm Hg	Norrekturiaktor k	g/m³	%	Bemerkungen
П	19. Dez. 45	18.0018.45	Nebel. Schwacher Westwind	4,7	712	1,0	5,8	06	Gültig für:
2	14. Jan. 46	10.3014.00	Bedeckt, Schwache Bise	0,51,0	737	1,04	2,3	20	Kugelfunkenstrecken von
က	6. Febr. 46	17.2518.10	Leichter Regen, Mittelstarker Südwestwind	7,27,3	729	1,005	6,5	85	250 und 125 mm Durch-
4	19. Febr. 46	14.1015.00	Bedeckt. Schwacher Südwestwind	7,2	729	1,005	5,8	75	messer:
ß	22. Febr. 46	15.1014.20	Bedeckt. Mittelstarker Westwind	. 9	728	1,008	2,8	40	Versuchsdurchführung
9	28. Febr. 46	11.2512.10	Bewölkt, Nebel, Schwacher Föhn	8,4	736	1,010	6,1	75)
2	21. Mai 46	09.0009.50	Leichter Regen. Schwacher Ostwind	15,816,8	727	0,9730,970	10,1	7570	
æ	24. Mai 46	11.2512.10	Bewölkt, Schwacher Südwestwind	17,819,7	722	0,9580,953	10	6065	
6	28. Mai 46	16.1016.50	Bewölkt. Schwacher Südwestwind	22,824,1	724	0,9450,940	7,36,6	3530	Erster Wert:
10	28. Juni 46	16.1516.55	Bewölkt. Warm. Schwacher Südwestwind	2525,5	730	0,945	1311,5	5550	Am Anfang der Versuche in
11	10. Juli 46	15.3016.10	Sehr schön. Mittelstarke Bise	24,5	733	0,950	10	45	der «Garage»
12	25. Juli 46	09.3010.15	Bewölkt. Schwacher Südwestwind	2627,2	730	0,9450,940	13,6	22)
13	Juli	14.1514.55	Bewölkt. Mittelstarker Südwestwind	2626,2	730	0,945	1312,5	5350	Zweiter Wert:
14	22. Aug. 46	14.1015.10	Bedeckt, Schwache Bise	18	732	0,970	8,1	53	Am Ende der Versuche in
15	Sept.	14.4515.40	Platzregen. Schwacher Südwestwind	18,819,8	724725	0,9600,957	13,213	8075	der «Garage»
91	14. Sept. 46	10.10.11.05	Nebel; dann sehr schön. Schwacher Westwind	16,819	729	0,9720,965	9,911,2	7268	
17	15. Sept. 46	08.5509.50	Bedeckt. Mittelstarker Südwestwind	1818,2	728	0,965	10,59,6	6560	
18	20. Sept. 46	13.5514.50	Sehr schön. Mittelstarker Südwestwind	22,424,5	724.	0,9470,940	12,412,1	6255	
19	5. Okt. 46	08.5009.40	Bedeckt. Schwacher Südwestwind	16,2	728	0,972	6,8	63	
20		09.2510.05	Dichter Nebel. Sehr schwache Bise	10,2	730	0,995	7,1	75	
21		14.0014.50	Bewölkt. Mittelstarke Bise	10	736	1,005	5,4	58	
22		14.0515.00	Bedeckt. Schwacher Südwestwind	8,2	725	0,995	5,6	29	
23		14.2015.15	· Nebel. Sehr schwacher Ostwind	5,95,2	716	0,9900,995	5,14,9	7374	
24	11. Dez. 46	14.2015.10	Leichter Nebel. Schwacher Südwestwind	6,66,5	725	10	5,55,3	7775	
22	31. Jan. 47	14.1515.05	Schön. Neblig. Schwache Bise	0,41,0	722	1,021,015	2,22,1	4743	
56	10. Febr. 47	15.2016.10	Bewölkt. Sehr schwacher Südwestwind	8,9	717	0,990	4,74,8	6264	
27	Febr.	14.3515.35	Nebel und Reif	2,63	721	1,010	4,14	7872	
28	20. Febr. 47	14.4515.35	Bedeckt. Neblig. Schwache Bise	1,52,4	719	1,010	32,9	6055	
29	26. Febr. 47	14.3015.20	Sehr schön. Leichtes Tauwetter. Schwache Bise	1,82,8	723	1,0151,010	2,62,7	5750	
30	17. Juni 47	15.0015.50	Sehr schön. Mittlere Bise	23,123,8	729	0,9500,947	7,16,6	3430	
31	1. Juli 47	09.0009.55	Bedeckt, Mittelstarker Westwind	24	730	0,950	11,2	51	
32	11. Juli 47	15.0515.55	Bedeckt, Einige Platzregen, Starker Südwind	1920,5	725	0,9600,955	11,110,5	6758	
33	28. Aug. 47	14.4515.35	Bewölkt. Mittelstarke Bise	23,825,4	729	0,9480,943	7,26,9	3430	
34	10. Sept. 47	14.1015.00	Schön. Mittelstarker Südwestwind	23,827	731,5	0,9500,940	10,19,1	4635	
35	15. Sept. 47	14.0514.55	Sehr schön, Schwache Bise	26,228,8	731	0,9430,935	109	4032	
36	6. Okt. 47	14.2015.10	Sehr schön, Schwache Bise	19,621	730	0,9650,960	98,5	5245	
37		10.4511.35	Bewölkt. Sehr schwacher Westwind	14,215,5	733,5	0,9850,983	8,38,1	0929	
38		10.1511.05	Bedeckt. Leichter Nebel. Schwacher Westwind	10,912,1	738	1,0031,0	8,1	8276	
39	23. Dez. 47	10.1011.00	Leichter Regen. Sehr starker Südwestwind	5,66,5	733,5	1,0171,012	5,75,5	8375	
4.0	10. Febr. 48	14.1015.00	Bedeckt, Sehr schwacher Südwestwind	1112,3	730	0.9950.990	'n	5046	

	Wetterverhältnisse vor Beginn der Mess-Serien Tabelle II
Serie- Nr.	Atmosphärische Bedingungen vor den Versuchen
1, 2	(nicht notiert)
3	Starker Südwestwind, begleitet von Regen
4.	Bedeckt, sehr schwacher Südwestwind
5	Abends 21.00 Uhr Schneefall, gemischt mit Regen.
	Im Laufe der Nacht, von 21.00 bis 22.00 Uhr,
_	Fallen der Temperatur und Frost
6	Am Morgen bewölkt und neblig. Föhn
7	Regen während der Nacht und am Morgen schwa- cher Ostwind
8	(nicht notiert)
9	Am Morgen Nebel bis ca. 8.00 Uhr, dann bewölkt.
10	Schwacher Südwestwind.
10	Am Morgen sehr schön. Am Nachmittag bewölkt.
11	Schwacher Südwestwind
11	Während der Nacht Tau. Am Morgen sehr schön. Mässige Bise
12	Am Vortag und in der Nacht sehr schön. Am Morgen
	bewölkt. Sehr schwacher Südwestwind
13	Am Vortag und am Tag der Messung schön. Mittlerer
	Südwestwind
14	Am Vorabend und in der Nacht Regen. Am Morgen
	bedeckt. Schwacher Westwind
15	Am Vortag und in der Nacht Regen nachlassend.
7.0	Am Morgen bedeckt. Mittlerer Südwestwind
16	Am Vortag schön. Im Laufe der Nacht und am Mor-
	gen sehr dichter Nebel. Dieser verschwindet kurz vor den Versuchen
17	Am Vortag schön. In der Nacht und am Morgen
	bedeckt. Mittelstarker Südwestwind
18	Am Vortag sehr starker Wind, begleitet von Regen.
	Morgens schön. Mittelstarker Südwestwind
19	Am Vortag und in der Nacht bedeckt. Schwacher
	Westwind
20	Am Vortag schön und schwacher Wind. Morgens
	sehr dichter Nebel
21	Am Vorabend und in der Nacht Nebel. Am Morgen
	bedeckt und schwache Bise
22	Am Vortag, in der Nacht und morgens bedeckt,
	schwacher Südostwind
23	Am Vortag starker Südwestwind, begleitet von Re-
	gen. In der Nacht und am Morgen ziemlich dich-
	ter Nebel und sehr schwacher Wind
24	In der Nacht bedeckt. Morgens Nebel und sehr
	schwacher Südwestwind
25	Am Vortag und morgens Nebel und schwache Bise
26	Am Vortag bewölkt und Tauwetter. Frost im Laufe
	der Nacht. Morgens ziemlich schön und sehr

schwacher Südwind

schön. Tauwetter

und mässige Bise

schön, schwache Bise

mässige Bise

sige Bise

Bedeckt und neblig, schwache Bise

schön und warm, mässige Bise

Am Vortag sehr schön und sehr leichter Nebel,ruhi-

Am Vortag starker Schneefall und starke Bise. Frost

Am Vortag schön. Nachts ziemlich kalt. Morgens

Am Vortag, nachts und morgens bedeckt mit nach-

lassenden Platzregen und starkem Südwind

Am Vortag, nachts und morgens bewölkt und mäs-

Am Vortag bedeckt und Südwind. Morgens schön

Am Vortag und am Tag der Versuche sehr schön und

Am Vortag sehr schön. Morgens Nebel, dann sehr

Am Vortag bewölkt. Nachts und morgens bis zum

Bedeckt und Nachlassen des Regens, starker Süd-

Beginn der Versuche sehr dichter Nebel

Morgens schön, sehr schwacher Südwestwind

Durch Nebel bedeckt, sehr schwacher Westwind

Am Vortag bewölkt und mittlerer Westwind

ger Wind. Morgens Nebel (sehr dicht) und Reif

im Laufe der Nacht. Morgens bewölkt, dann sehr

27

28

29

30

31

32

33

34

35

36

37

38

39

40

spannung, und dann vor allem ein schmaleres Streuband der Einzelwerte. Die Figuren zeigen, dass praktisch alle Ansprechwerte innerhalb ca. ± 10 % des Mittelwertes derselben Polarität, bei einem Fabrikat sogar innerhalb ca. ± 7 % des Mittelwertes liegen.

Um dieses Verhalten und das eventuelle Vorhandensein von unerfassten Fremdeinflüssen besser zu erkennen, wurden die Resultate dieser Ableitermessungen weiter ausgewertet, indem nicht mehr die Häufigkeit p der Ansprechwerte innerhalb eines begrenzten Spannungsintervalls ausgerechnet wurde, sondern die Häufigkeit aller Ansprech- oder Überschlagspannungen bis zu einem bestimmten Spannungswert; das ist die sog. Summenhäufigkeit Σ . Diese Summenhäufigkeit wurde sodann auf sog. «Wahrscheinlichkeitspapier» aufgetragen. Dessen Koordinatennetz ist so gewählt, dass die Summenhäufigkeit einer Gaußschen Verteilung sich als gerade Linie darstellt. Dies bedingt einen bestimmten nicht linearen Häufigkeitsmaßstab (Abszisse), während der Spannungsmaßstab linear bleibt.

Die Fig. 37...42 zeigen die Summenhäufigkeit der Ansprechspannungen von je zwei Ableitern jedes Fabrikates auf diesem Wahrscheinlichkeitsnetz, während die Fig. 43...48 Summenhäufigkeiten über einem üblichen linearen Spannungs- und Häufigkeitsmaßstab darstellen, wobei im letzten Fall die Häufigkeit als Ordinate gezeichnet ist.

Der Punkt P ($\Sigma = 50 \%$) der Fig. 41 bedeutet z. B., dass 50 % aller gemessenen negativen Ansprechspannungen unterhalb 170 kV liegen. Oder der Punk Q (160 kV), der eine Abszisse $\Sigma = 5 \%$ bei positiver Spannung liefert, bedeutet, dass bei dieser Spannung noch in 5 % aller angewendeten Stösse Ansprechungen auftreten («5-%-Ansprechspannung»). Die Kurven zeigen im ganzen recht gute Annäherung an die Gaußsche Verteilung, so dass offenbar keine wesentlichen unbekannten Einflüsse auf diese Ableiterfunkenstrecken mehr be-

Als Resultat der zweijährigen Beobachtungen darf gesagt werden, dass Ableiterfunkenstrecken, insbesondere gewisser Bauformen, heute den der Eindeutigkeit am nächsten kommenden Zusammenhang zwischen Ansprechspannung und Schlagweite bzw. Konstruktion aufweisen. Als Messmittel für kurzdauernde Überspannungen eignen sie sich demgemäss unvergleichlich besser als z. B. Stabfunkenstrecken, und noch viel besser als Kugelfunkenstrecken.

Nur nebenbei sei darauf hingewiesen, dass sich Spuren von Feuchtigkeit in Ableiterfunkenstrecken durch eine ausserordentlich starke Zunahme der Streuung im Dauerbetrieb äussern.

In Tabelle IV sind die Spannungen, die mit einer bestimmten Ansprech- oder Überschlaghäufigkeit verbunden sind, in Tabelle V ihre prozentuale Abweichung vom Mittelwert aller Spannungen für verschiedene Prüfobjekte zusammengestellt. Als Einheiten sind dabei die heute in der Hochspannungstechnik und Wahrscheinlichkeitstheorie üblichen Begriffe benützt, nämlich:

Summenhäufigkeit ($\Sigma\%$) der Überschlag- bzw. Ansprechspannung (U) in kV (Scheitelwert)

Tabelle IV

		, , , , ,	· · · · · · · · · · · · · · · · · · ·					6 (°) •	,				abene iv	
Objekt		Mittel- 'olari- wert tät	art -											
,			Kleinster Messwert	1%	5%	10%	16%	50%	84%	90%	95%	99%	Grösster Messweit	
Prozentuale Abweichung		kV	kV	kV	kV	kV	kV	kV	kV	kV	kV	kV	kV	
Stützisolator	+	280,0 283,0	238 238	238 248	258 263	263 268	268 268	283 283	288 293	293 303	303 303	308 313	313 318	
2gliedrige Hängekette Durchführungs-	+ - +	260,0 272,0 257,5	223 238 223	$228 \\ 243 \\ 233$	248 253 238	253 258 243	253 263 248	263 273 258	278 283 268	288 283 273	288 288 278	293 288 288	293 298 293	
isolator	_	296,0	248	258	268	283	283	293	308	308	313	318	318	
Stabfunkenstrecke 260 mm	+	247,5 290,0	203 258	213 263	223 268	228 273	238 273	248 288	258 303	263 308	268 318	268 328	273 333	
Kugelfunkenstrecke 250 mm Ø sauber Kugelfunkenstrecke 125 mm Ø sauber Kugelfunkenstrecke 125 mm Ø staubig	+ + + + + + + + + + + + + + + + + + + +	182,0 210,3 162,0 163,3 172,5 176,4	153 158 133 123 133 143	158 163 138 133 143 148	168 173 143 138 158 148	168 173 148 143 163 158	173 178 148 148 163 158	178 203 163 168 173 173	193 238 173 168 183 193	198 258 173 173 183 193	203 268 183 173 188 203	223 313 198 198 193 218	238 338 203 203 198 223	
Ableiter FKH-Nr. 1 Fabrikat A Nr. 1 Ableiter FKH-Nr. 2 Fabrikat A Nr. 2	+ + + + -	153,7 157,4 163,5 165,6	145 141 152 149		146,5 147,5 157,0 155,5	147,0 149,3 157,5 157,5	148,0 150,6 158,6 160,0	152,5 157,0 162,0 165,0	157,5 160,0 166,5 170,0	159,5 161,5 167,7 171	160,0 164,5 169,5 172,5		168 171 183 177	
Ableiter FKH-Nr. 6 Fabrikat B Nr. 1 Ableiter FKH-Nr. 7 Fabrikat B Nr. 2	+ + + + + + + + + + + + + + + + + + + +	162,5 164,0 165,2 166,8	120 112 129 119		149,0 141,0 152,5 147,0	152,5 149,0 157,5 151,5	154,5 155,5 159,0 156,5	162,5 165,5 165,0 167,5	168,3 172,0 170,0 175,0	170,3 175,7 171,5 177	172,3 177,7 174,0 180,5		179 187 179 186	
Ableiter FKH-Nr. 11 Fabrikat C Nr. 1 Ableiter FKH-Nr. 12 Fabrikat C Nr. 2	+ +	173,8 170,0 186,4 184,2	148 146 158 164		160,5 155,5 167,0 170,0	163,3 158,4 170,0 173,0	166,5 162,0 173,0 175,0	173,0 170,0 186,5 183,0	180,0 176,0 196,5 191,0	182 177,5 199,5 194	184,0 180,3 203,0 197,5		194 190 214 206	

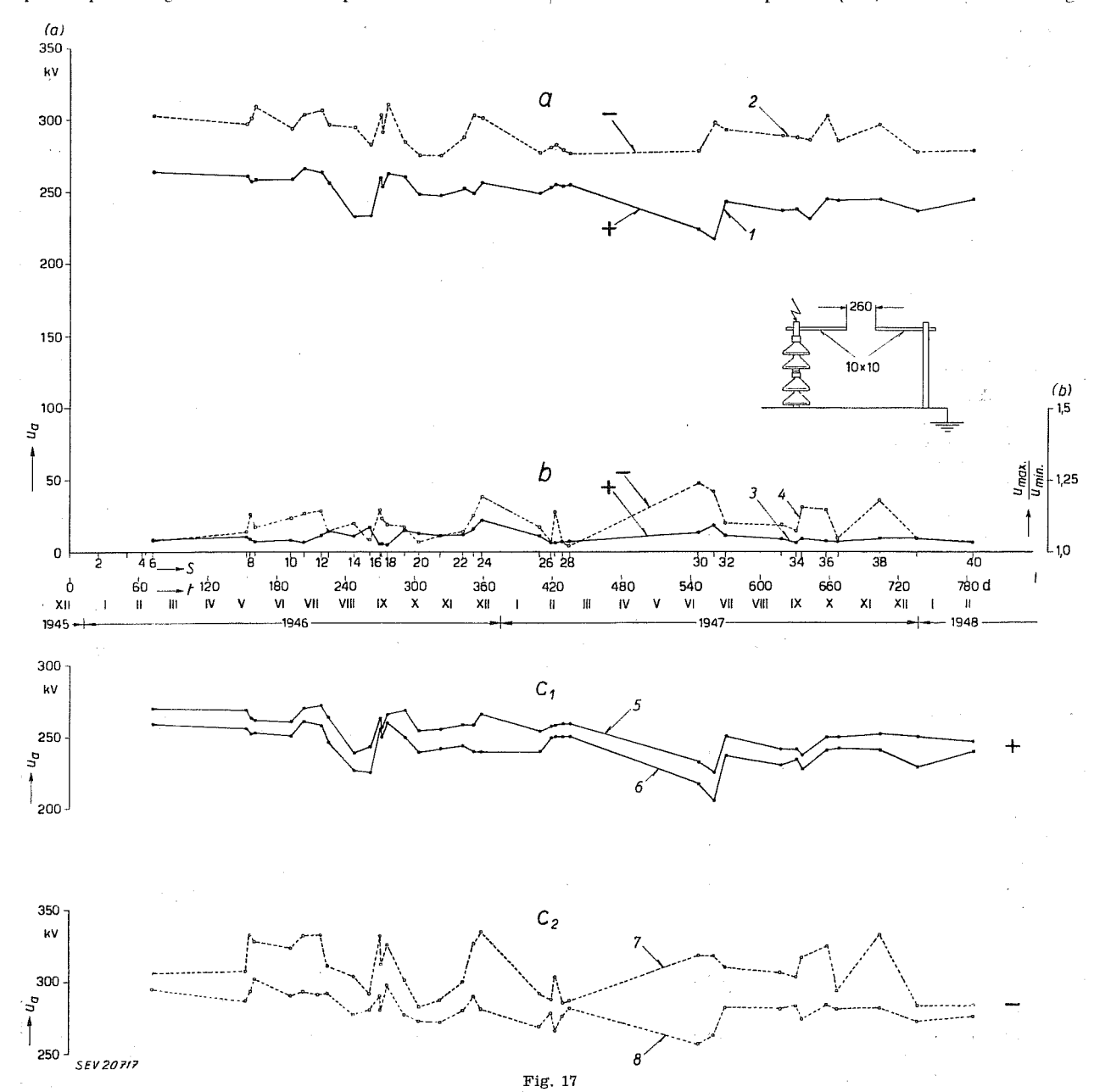
Prozentuale Abweichung (Δ %) der Überschlag- bzw. Ansprechspannung (U) vom Mittelwert U_{med} aller Messungen innert 2 Jahren Δ % = $\frac{U-U_{med}}{U_{med}}$ 100%

			△ /o -		U_{med}	_	70					T	abelle V
Objekt		Mittel- wert		Σ% =	= Teil der Tabeller	Ansprec	hungen, o olgen, aus	lie bei Sp sgedrückt	annungen in % alle	kleiner o er Beansp	oder gleich ruchunger	ı dem	
ozjene	Polari- tät	\hat{U}_{med}	Kleinster Messwert	1%	5%	10%	16%	50%	84%	90%	95%	99%	Grösster Messwert
Ansprechspannung		kV	-%	-%	-%	-%	-%	%	+%	+%	+%	+%	+%
Stützisolator	+	280,0 283,0	15 16	15,0 12,3	7,85 7,07	6,1 5,3	4,65 5,30	+1,07	2,85 3,53	4,65 7,06	8,25 7,06	10,0 10,6	11,8 12,4
2gliedrige Hängekette Durchführungs- isolator	+ + + + + + + + + + + + + + + + + + + +	260,0 272,0 257,5 296,0	14,2 12,5 13,4 16,2	12,3 11,65 9,55 12,83	4,61 7,0 7,56 9,45	2,69 5,14 5,62 4,4	2,69 3,31 3,69 4,4	+1,15 +0,37 +0,2 -1,01	6,82 4,04 3,69 4,05	10,76 4,04 6,0 4,05	10,76 5,51 7,95 5,75	12,7 5,51 11,5 7,4	12,7 9,55 13,8 7,4
Stabfunkenstrecke 260 mm	+	247,5 290,0	18 11	13,9 9,3	9,9 7,42	7,87 5,87	3,84 5,87	$^{+0,22}_{-0,69}$	4,24 4,48	6,25 6,21	8,3 9,65	8,3 13,1	10,3 15,2
Kugelfunkenstrecke 250 mm Ø sauber Kugelfunkenstrecke 125 mm Ø sauber Kugelfunkenstrecke 125 mm Ø staubig	+ + + + + + + + + + + + + + + + + + + +	182,0 210,3 162,0 163,3 172,5 176,4	16,1° 24,9 17,9 24,7 22,9 18,9	13,2 22,5 14,8 18,4 17,1 16,1	7,8 17,75 11,7 15,5 8,4 16,1	7,8 17,75 9,26 12,42 5,5 10,44	4,95 15,35 9,26 9,37 5,5 10,44	$ \begin{array}{r} -2.3 \\ -3.47 \\ +0.62 \\ +2.88 \\ +0.29 \\ -1.93 \end{array} $	5,83 13,15 6,80 2,88 6,08 9,42	8,67 22,6 6,80 5,95 6,08 9,42	11,5 27,6 13,0 5,95 9,0 15,1	22,5 49,9 22,2 21,3 11,8 23,6	30,8 61,0 25,3 24,3 14,8 26,4
Ableiter FKH-Nr. 1 Fabrikat A Nr. 1 Ableiter FKH-Nr. 2 Fabrikat A Nr. 2	+ + + + + + + + + + + + + + + + + + + +	153,7 157,4 163,5 165,6	5,5 10,4 7,04 9,96		4,7 6,3 4,0 6,1	4,4 5,1 3,7 4,9	3,7 4,3 3,0 3,4	-0,78 $-0,25$ $-0,9$ $-0,36$	2,5 1,65 1,85 2,65	3,8 2,6 2,6 3,25	4,1 4,5 3,7 4,15		9,3 8,65 11,9 6,85
Ableiter FKH-Nr. 6 Fabrikat B Nr. 1 Ableiter FKH-Nr. 7 Fabrikat B Nr. 2	+	162,5 164,0 165,2 166,8	26,1 31,6 21,9 28,7	_ _ _	8,3 14,0 7,7 11,9	6,1 9,15 4,7 9,2	4,9 5,2 3,8 6,2	$ \begin{array}{c} 0 \\ +0,92 \\ -0,1 \\ +0,4 \end{array} $	3,5 4,9 2,9 4,9	4,8 7,15 3,8 6,1	6,0 8,35 5,3 8,2		10,1 14,0 8,35 11,5
Ableiter FKH-Nr. 11 Fabrikat C Nr. 1 Ableiter FKH-Nr. 12 Fabrikat C Nr. 2	+	173,8 170,0 186,4 184,2	14,85 14,1 15,2 10,85		7,65 8,5 10,5 7,7	6,05 6,8 8,8 6,1	4,2 4,7 7,2 5,0	-0,46 0 $+0,05$ $-0,65$	3,5 3,5 5,4 3,85	4,7 4,4 7,02 5,3	5,9 6,06 8,85 7,2		11,6 11,75 14,8 11,85

- a) die 95-%- und die 5-%-Überschlagspannungen bzw. Ansprechspannungen u bzw. ihre prozentuale Abweichung △ gegenüber dem Mittelwert (bei symmetrischen Kurven dem 50-%-Wert),
- b) die 90-%- und 10-%-Überschlag- bzw. Ansprechspannungen u bzw. ihre prozentuale Abwei-

$$\sigma^2 = \frac{1}{n-1} \sum_{i=1}^n (x_i - x_m)^2 \qquad n \text{ Anzahl Messwerte}$$
 (2)

Der Wert σ einer Gaußschen Verteilung lässt sich im Wahrscheinlichkeitsnetz sehr einfach bestimmen aus den Spannungen, welche die schräge



Auf normale Luftdichte (760 mm Hg, 20 °C) reduzierte Ansprechspannung der Stabfunkenstrecke in Fig. 6 a, b, c wie in Fig. 11

chung \triangle gegenüber dem Mittelwert (bei symmetrischen Kurven dem 50-%-Wert),

c) für die Ableiter die 84-%- und 16-%-Ansprechspannungen und ihre Abweichungen gegen den Mittelwert. Diese Werte decken sich mit dem Streuwert σ einer Gaußschen Verteilung (Gl. 1), sofern die Verteilung im Wahrscheinlichkeitsnetz als gerade Linie erscheint, d. h. sofern die gemessene Verteilung einer Gaußschen Verteilung entspricht. Die mittlere quadratische Abweichung σ der Messwerte x_i vom Mittelwert x_m ist wie folgt definiert:

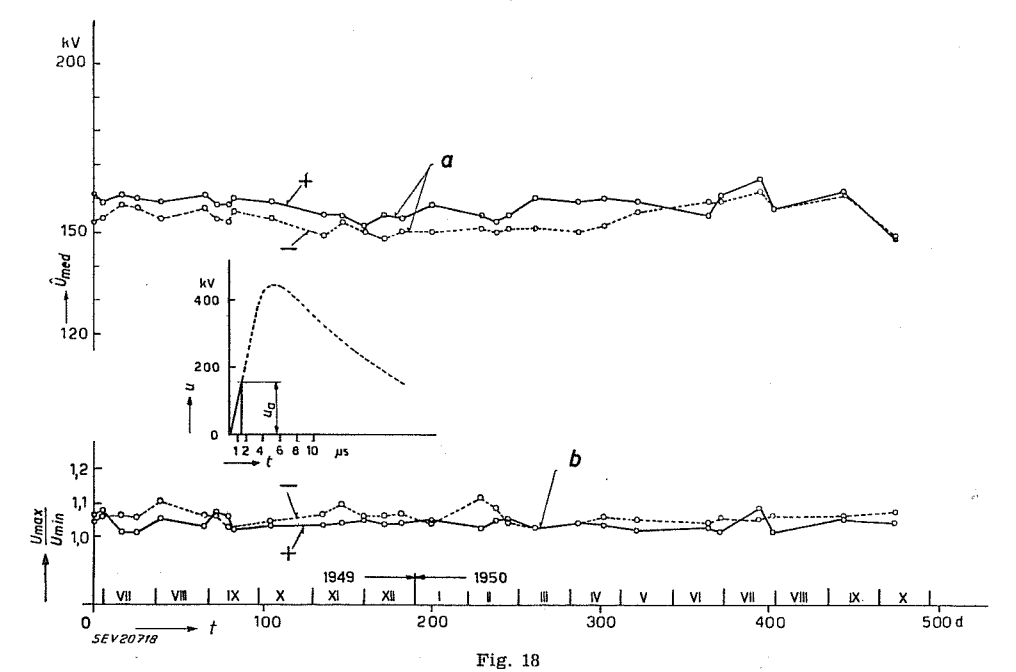
Gerade bei den Summenhäufigkeiten 16 % und 84 % anzeigt.

Die 95-%-, 90-%- bzw. 84-%-Spannungen können als Näherungen für die Begriffe der 100-%-Überschlag- bzw. Ansprechspannung gelten.

Die 5-%-, 10-%- bzw. 16-%-Spannungen nähern sich der «Null-%-Spannung», d. h. der Spannung, bei der überhaupt nie mehr ein Überschlag auftritt, selbst bei sehr grosser Stosszahl. Dieser Grenzwert der Spannung ist theoretisch nur dann definiert,

wenn die restliche, für ihn noch gültige kleine Überschlagzahl angegeben wird. Die Werte der 1-%- und 1-0/00-Spannungen sind noch wesentlich verschieden voneinander. Es ist deshalb theoretisch

bei welcher ein bestimmter kleiner Prozentsatz Überschläge noch zugelassen ist, z. B. die 1-%-, 5-%- oder 10-%-Spannung. Es wäre demgemäss klarer, nicht von «Haltespannung», sondern von der



Gemessene, nicht reduzierte Ansprechspannung des Ableiters Nr. 1, Fabrikat A

a positive und negative Mittelwerte aus jeder Mess-Serie U_{max}

Verhältnis Maximum zu Minimum zu jeder Mess-Serie

Spannung u

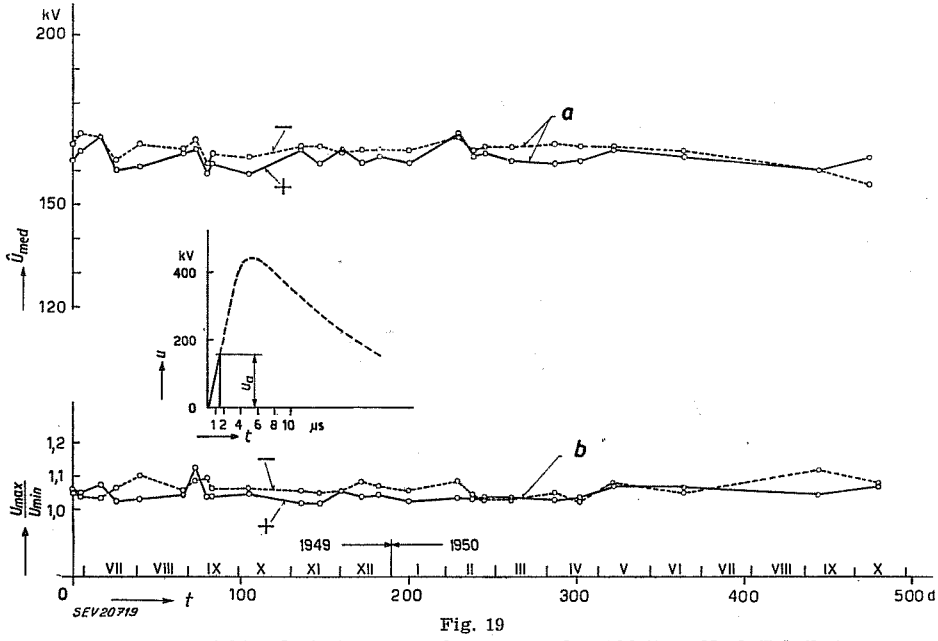
Verhältnis Maximum zu Minimum jeder Mess-Serie Mittelwert der Ansprechspannung pro Mess-Serie

Ansprechspannung u_a

> X-%-Spannung zu sprechen, für welche der Begriff gemeint ist.

schwierig, von einer sog. «Haltespannung», oder «Null-%-Spannung» zu reden, bei der auch bei beliebig grosser Stosszahl kein einziger Überschlag entstehen darf, denn da es sich um einen Asymptot-

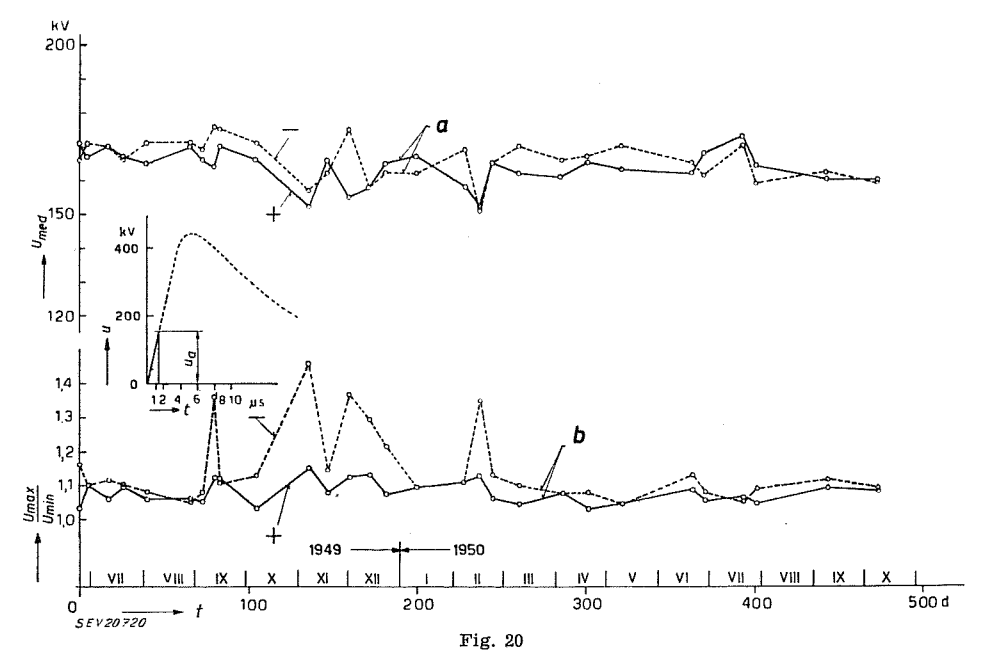
Die gleiche Überlegung gilt natürlich auch für den obern Grenzwert der Ansprechwahrscheinlich-



Gemessene, nicht reduzierte Ansprechspannung des Ableiters Nr. 2, Fabrikat A Bezeichnungen siehe Fig. 18

wert der Spannung handelt, liegt er theoretisch nicht fest. Technisch wird unter dem Begriff der «Haltespannung» eine solche Spannung verstanden,

keit, d. h. für die sog. «100-%-Spannung». Sie ist in Wirklichkeit eine 90-%-, 95-%- oder 99-%-Spannung, und es ist theoretisch unrichtig, sie als 100-%- Spannung zu bezeichnen, da der prozentual nur noch sehr kleine Schritt in der Häufigkeit bis 100 % Überschläge in der Spannung einen theoretisch noch grossen Schritt bedeutet. Wo die Verteilungskurven sich der Gaußschen Verteilung stark nähern, was am einfachsten daraus ersichtlich wird, dass sich die Verteilungskurve auf dem Wahrscheinlichkeitsnetz einer geraden Linie

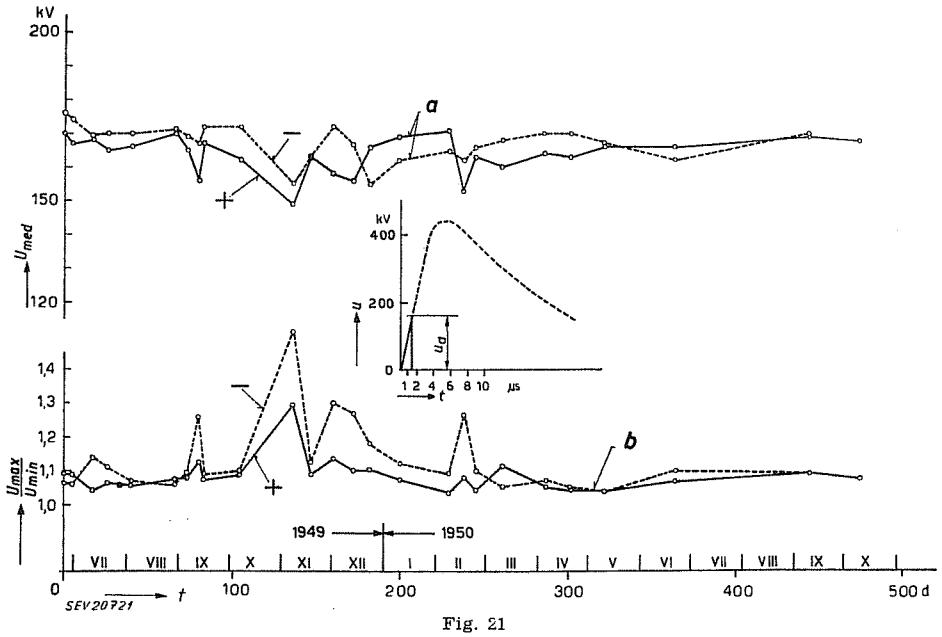


Gemessene, nicht reduzierte Ansprechspannung des Ableiters Nr. 6, Fabrikat B Bezeichnungen siehe Fig. 18

Mathematisch wird der Begriff der Streuung eindeutig definiert als die mittlere quadratische Abweichung σ. Diese entspricht der ±-Abweichung der 84-%- und 16-%-Spannungen vom Mittelwert.

Es ist aus der Gaußschen Kurve sofort ersichtlich, dass z. B. die Abweichung der 5-%- und

nähert, sind die Abweichungen der einzelnen Messwerte vom Mittelwert nach Gauss rein zufällig bedingt. Dies heisst technisch: Es ist keine unbeachtete Variable in den Beobachtungen enthalten. Wo jedoch die Verteilungskurve im Wahrscheinlichkeitsnetz sich nicht als gerade Linie zeigt, bestehen



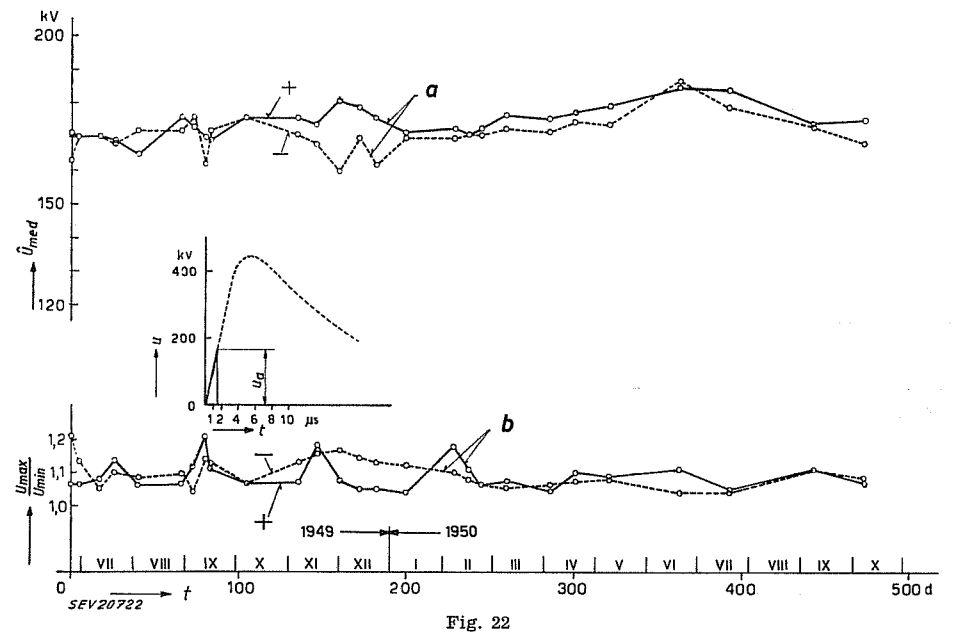
Gemessene, nicht reduzierte Ansprechspannung des Ableiters Nr. 7, Fabrikat B Bezeichnungen siehe Fig. 18

95-%-Werte vom Mittelwert rund zweimal grösser ist als das Streumass σ (genau 1,965mal).

Über die *Ursache der Streuung* ist folgendes zu bemerken:

systematische Einflüsse einer nicht kontrollierten Variabeln auf den Messwert, die sich über die Beobachtungsdauer ändern. Ein solcher Einfluss ist z. B. die Luftfeuchtigkeit, die deshalb nicht korrigiert wurde, weil die Grösse des Einflusses insbesondere bei Überschlägen in der Front von Stoßspannungen nicht feststeht und sicher viel kleiner ist als bei voller Stoßspannung. Er kann somit nur Fehler

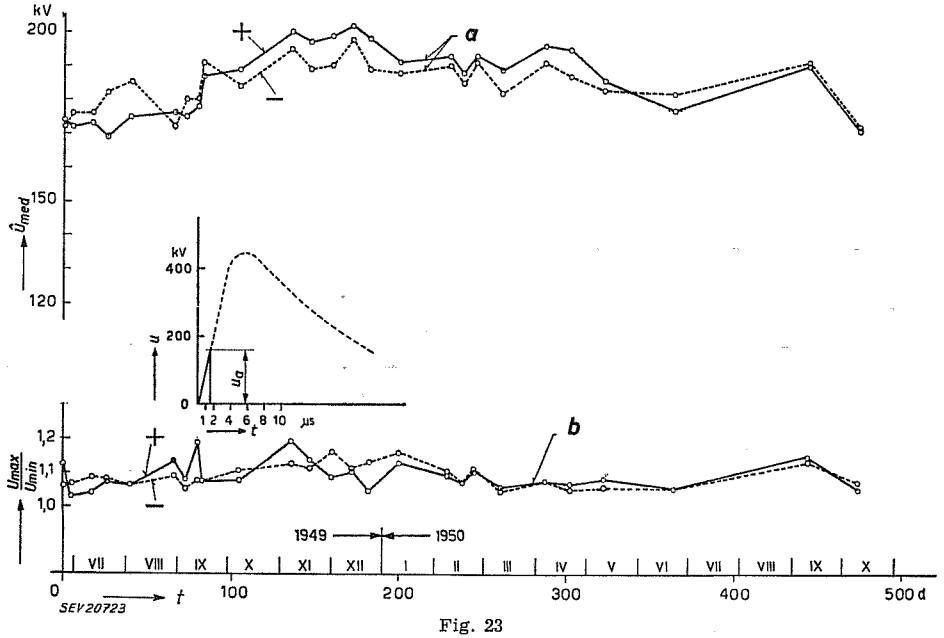
tierten Innenraumdurchführungen an diesem Tag tief ist. Auch die Stabfunkenstrecke zeigt an diesem Tag einen tiefen positiven Mittelwert der Serie 31, trotzdem hier kein nasser Kriechweg entstehen



Gemessene, nicht reduzierte Ansprechspannung des Ableiters Nr. 11, Fabrikat C Bezeichnungen siehe Fig. 18

von wenigen Prozenten ausmachen. Der Vergleich mit den Wetterdaten, die ausführlich notiert und in den Tabellen I...III zusammengestellt wurden, hat keine Klärung gebracht, weder für die Innenraumnoch für die Freiluft-Prüfobjekte. Ein Einfluss des Regens scheint zwar bei den Serien Nr. 3 und 31

kann. Die negative Spannung lässt jedoch keinen solchen Einfluss erkennen. Wenn ein kleiner Einfluss des Regens auf die Überschlagspannung der Isolatoren vorhanden ist, so ist er doch technisch für die hier untersuchten Prüfobjekte bedeutungslos. Die Tatsache, dass bei den Ableiterfunken-



Gemessene, nicht reduzierte Ansprechspannung des Ableiters Nr. 12, Fabrikat C Bezeichnungen siehe Fig. 18

offenbar vorhanden zu sein, indem die Mittelwerte dieser Mess-Serie ausgesprochen tiefer liegen. Doch ist interessant, dass auch die Überschlagspannung der trockenen, im geschlossenen Prüfraum mon-

strecken die Streuung um so kleiner wird, je besser vakuumdicht abgeschlossen sie sind, deutet anderseits doch darauf hin, dass irgendwelche Witterungseinflüsse auf die offenen Funkenstrecken und Schlagweiten bestehen. Welcher Art diese sind, ist uns aber heute unbekannt.

Die Kurven der Fig. 49 betreffen den Stützisolator, die Stabfunkenstrecke (260 mm Schlagweite)

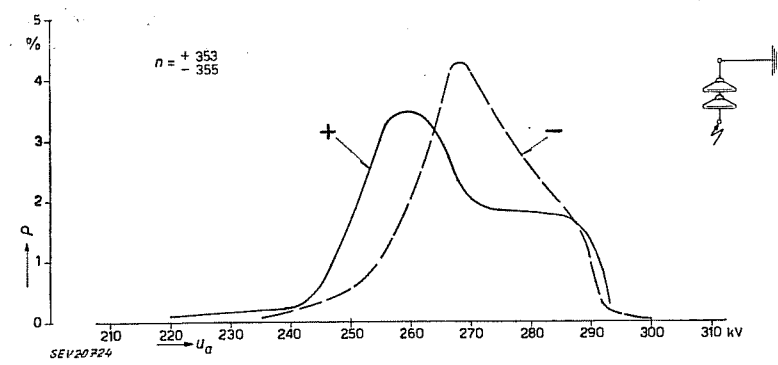


Fig. 24

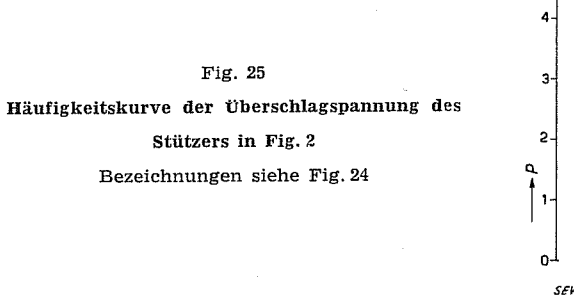
Häufigkeitskurve der Überschlagspannung der Hängekette in Fig. 1 n Anzahl der Messungen; u_a Ansprechspannung; p Häufigkeit in % pro kV

Spannungsintervall

6. Einfluss der Steilheit der Stoßspannung auf die Überschlag- und Ansprechspannungen

Um den eventuell vorhandenen Einfluss der Steilheit der Stoßspannung auf die Höhe der Überschlag-

und schliesslich eine den Dauerversuchen nicht unterworfene symmetrierte Spitze-Platte-Funkenstrecke, bei der durch Antiparallelschalten zweier gleicher Anordnungen gleiche Spannung für beide



n = + 334 - 345 + 336 230 240 250 260 270 260 290

und Ansprechspannungen festzustellen, wurden die Prüfobjekte Stoßspannungen von verschiedener Frontsteilheit unterworfen. Dabei wurde auch Wert

Stoßpolaritäten erreicht werden sollte. Für positive Stösse lässt sich eine Kurve relativ gut zeichnen und es erscheint die bekannte Zunahme der Überschlag-

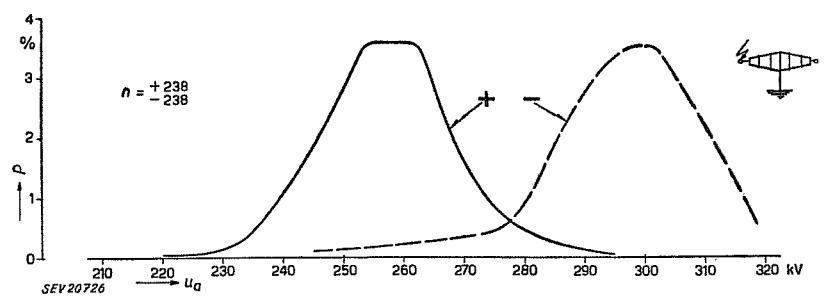


Fig. 26

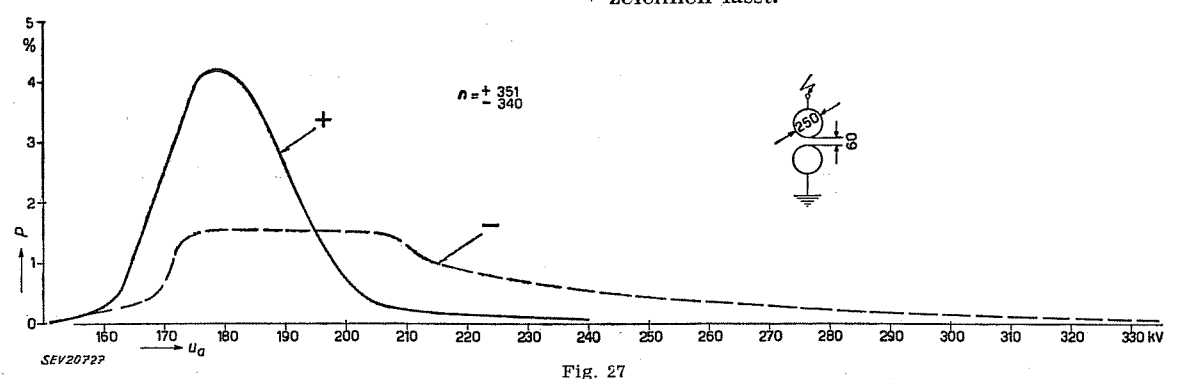
Häufigkeitskurve der Überschlagspannung
der Durchführung in Fig. 3

Bezeichnungen siehe Fig. 24

300

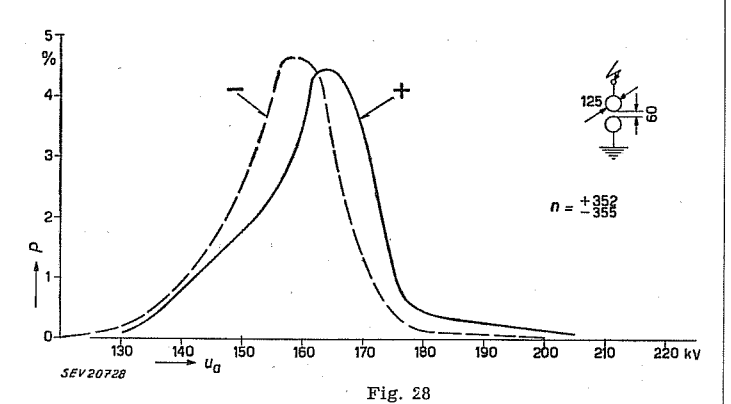
gelegt auf relativ flache Fronten von der Grössenordnung von wenigen $kV/\mu s$. Die Resultate dieser Messungen sind in den Fig. 49...53 zusammengefasst.

spannung mit grösserer Steilheit. Für negative Stösse streuen die Messpunkte der nicht symmetrischen Anordnungen derart, dass sich keine Kurve zeichnen lässt.



Häufigkeitskurve der Ansprechspannung der Kugelfunkenstrecke von 250 mm Durchmesser nach Fig. 4
Bezeichnungen siehe Fig. 24

Die Kurven der Fig. 50 zeigen den viel kleineren Steilheitseinfluss der Kugelfunkenstrecke. Während die Werte für die 125-mm-Kugeln wenig streuen. kann bei den 250-mm-Kugeln nur der Bereich der



Häufigkeitskurve der Ansprechspannung der vertikalachsigen (nicht gereinigten) Kugelfunkenstrecke von 125mm Durchmesser nach Fig. 5 Bezeichnungen siehe Fig. 24

Streuung angegeben werden. Die Resultate decken sich mit jenen der Dauerversuche, wenn auch bei dieser einzelnen Mess-Serie nicht so hohe Extremwerte festgestellt wurden, wie im Dauerversuch. Die Figuren 51...53 zeigen schliesslich für die drei untersuchten Ableiter-Fabrikate den Einfluss der Steilheit der

7. Bedeutung der Messungen für die Koordination der Isolation mit dem Überspannungschutz

Es ist klar, dass von der Seite des Betriebes von Hochspannungsanlagen die Forderung gestellt wer-

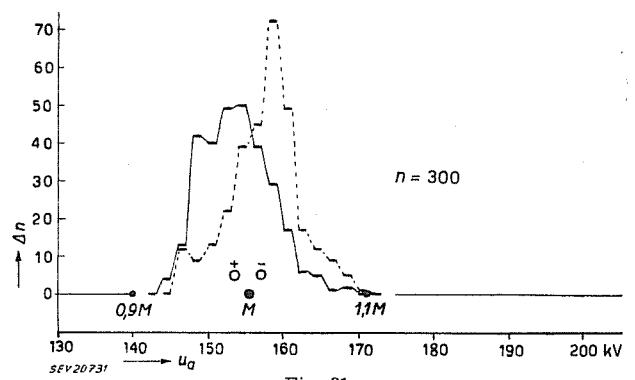


Fig. 31 Häufigkeitskurve der Ansprechspannung des Ableiters Nr. 1, Fabrikat A

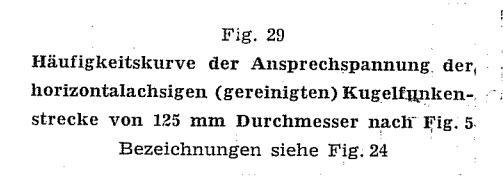
 u_a Ansprechspannung; An Anzahl Messungen pro Spannungsstufe (2 kV); n Anzahl Messungen total

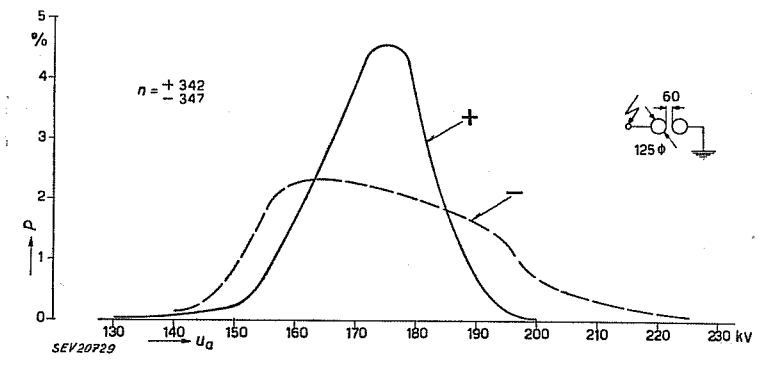
positive Stösse negative Stösse

positiver und negativer Mittelwert der Ansprechspannung δō

Gesamt-Mittelwert der Ansprechspannung

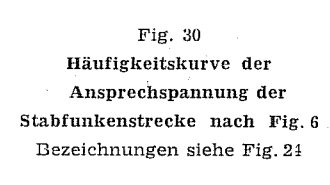
den muss, dass der Überspannungschutz jederzeit wirksam sein soll. Das bedingt ohne weiteres eine Abstufung der Ansprechspannungen der Ableiter mit den Überschlagspannungen der Isolation, die

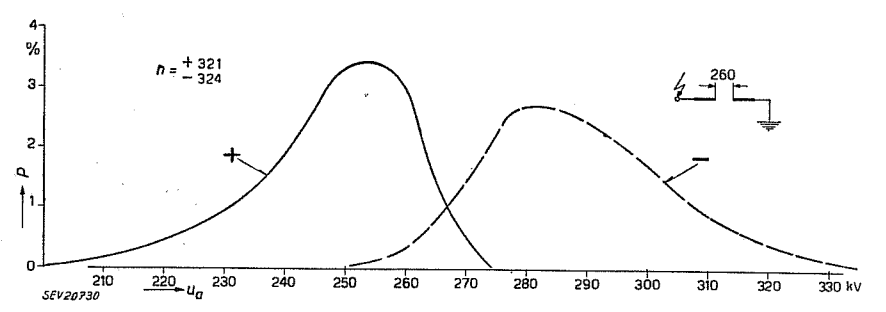




Stoßspannung auf die Ansprechspannung. Der Einfluss ist ähnlicher Grösse, wie bei der Kugelfunkenstrecke; er bleibt eher noch kleiner. Bedenkt man, dass bei den Dauerversuchen die Steilheit nur sehr wenig ändert, und zwar zwischen den einzelnen

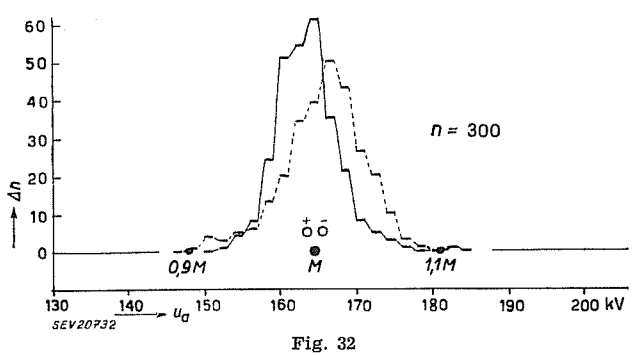
jederzeit vorhanden sein muss. Es erhebt sich somit die Frage nach der Differenz dieser beiden Spannungen im Verlauf der Zeit. Wäre die Lage z. B. so, dass die Ansprechspannungen der Ableiter in genau gleicher Art und Grösse mit der Zeit änderten wie



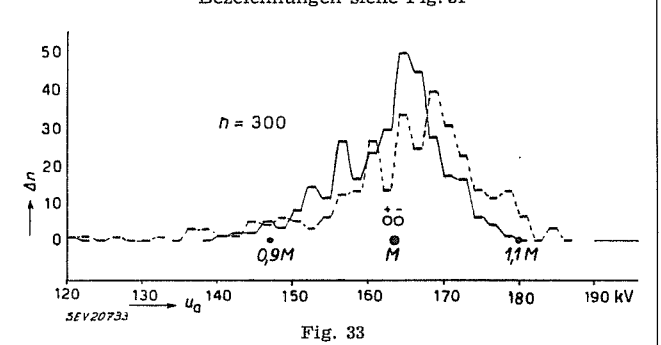


Stössen als auch zwischen den Mess-Serien, so ist ersichtlich, dass die Streuung der Steilheit keine Erklärung für die grosse Streuung der Messwerte bei den Dauerversuchen abgeben kann.

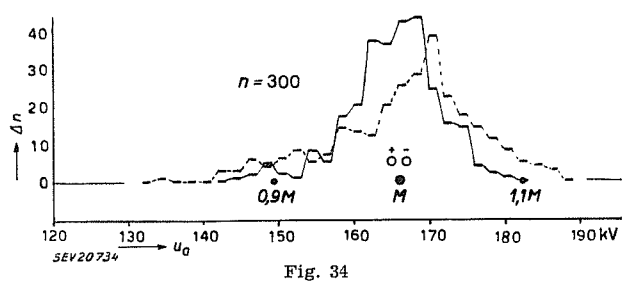
die Überschlagspannungen der zu schützenden Isolatoren, so wäre die Streuung der Mittelwerte ohne praktische Bedeutung und es müsste nur die in irgendeinem Zeitpunkt messbare Streuung inner-



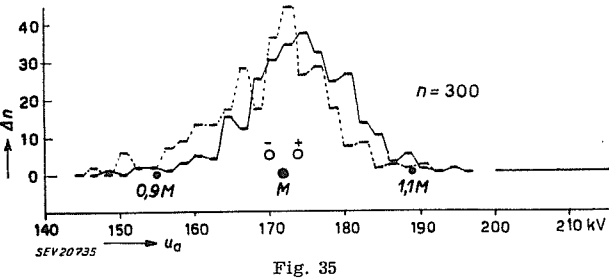
Häufigkeitskurve der Ansprechspannung des Ableiters Nr. 2, Fabrikat A Bezeichnungen siehe Fig. 31



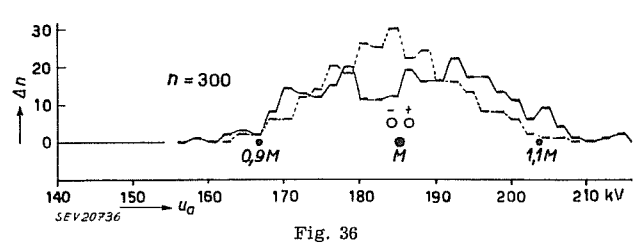
Häufigkeitskurve der Ansprechspannung des Ableiters Nr. 6, Fabrikat B Bezeichnungen siehe Fig. 31



Häufigkeitskurve der Ansprechspannung des Ableiters Nr. 7, Fabrikat B Bezeichnungen siehe Fig. 31

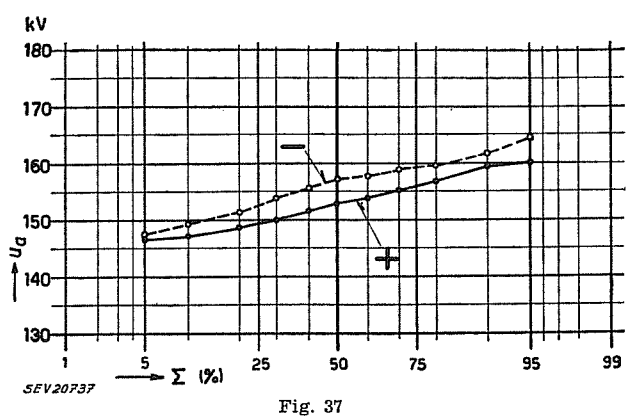


Häufigkeitskurve der Ansprechspannung des Ableiters Nr. 11, Fabrikat C Bezeichnungen siehe Fig. 31

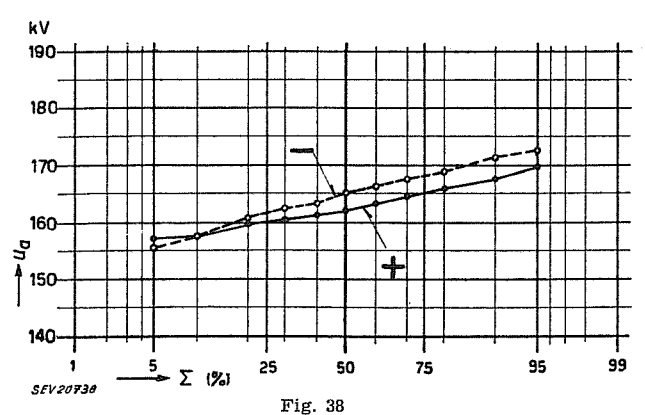


Häufigkeitskurve der Ansprechspannung des Ableiters Nr. 12, Fabrikat C Bezeichnungen siehe Fig. 31

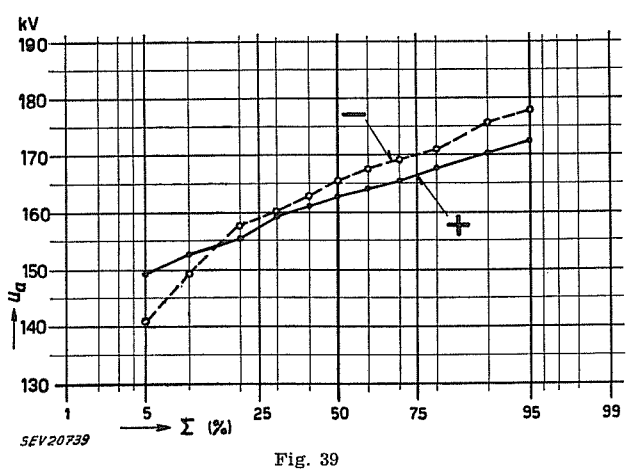
halb dieser Serien für die Abstufung berücksichtigt werden. Leider liegt das Problem aber nicht so: Aus den Figuren ergibt sich, dass schon der Verlauf der Mittelwerte der verschiedenen Isolatoren nicht der gleiche ist. Bei den Ableitern ist im weitern heute praktisch nur noch mit luftdicht gekapselten Funkenstrecken zu rechnen. Ihre Streuung scheint vom Wetter sehr wenig abhängig zu sein. Wird auch die zeitliche konstante Restspannung der Ableiter in die Betrachtung einbezogen, so ist sofort ersicht-



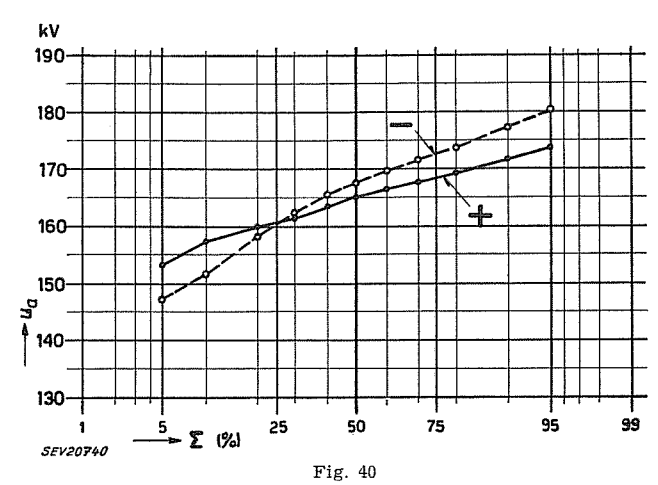
Summenhäufigkeit der Ansprechspannungen von Ableiter Nr. 1, Fabrikat A, auf Wahrscheinlichkeitsnetz gezeichnet Σ prozentuale Summenhäufigkeit des Ansprechens bei Spannungen unterhalb des Ordinatenwertes; u_a Ansprechspannungen



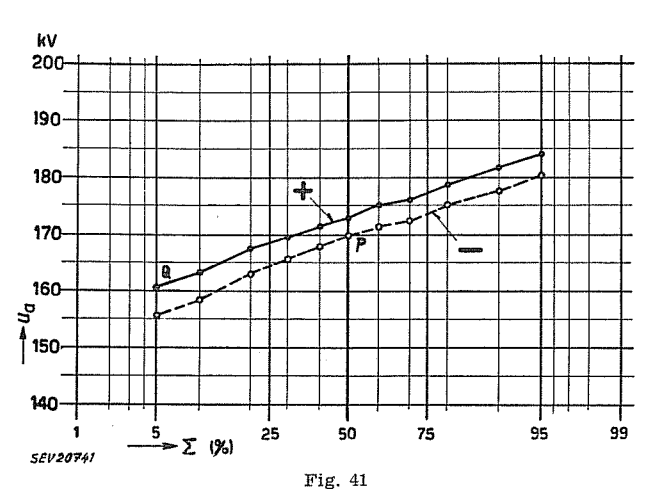
Summenhäufigkeit der Ansprechspannungen von Ableiter Nr. 2, Fabrikat A, auf Wahrscheinlichkeitsnetz gezeichnet Bezeichnungen siehe Fig. 37



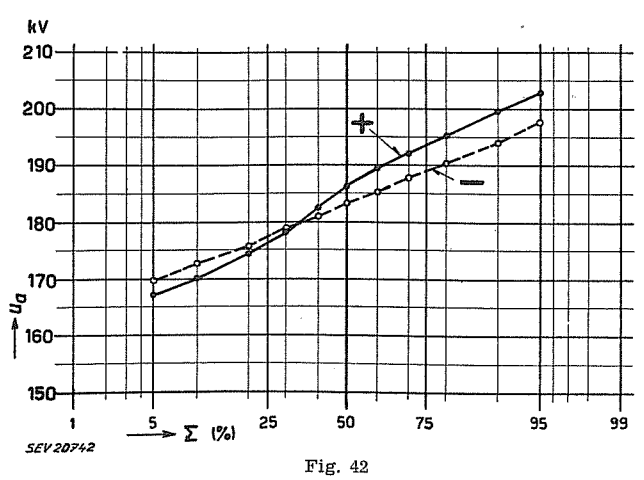
Summenhäufigkeit der Ansprechspannungen von Ableiter Nr. 6, Fabrikat B, auf Wahrscheinlichkeitsnetz gezeichnet Bezeichnungen siehe Fig. 37



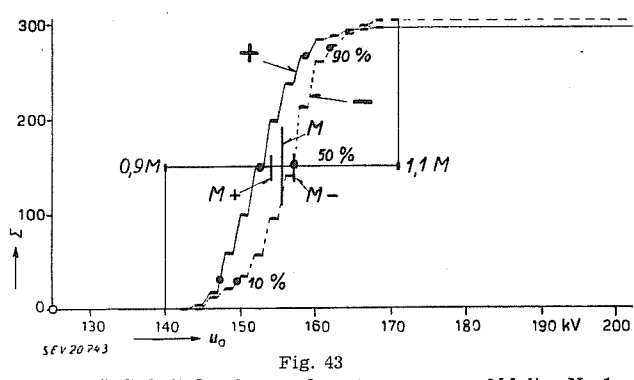
Summenhäufigkeit der Ansprechspannungen von Ableiter Nr. 7, Fabrikat B, auf Wahrscheinlichkeitsnetz gezeichnet Bezeichnungen siehe Fig. 37



Summenhäufigkeit der Ansprechspannungen von Ableiter Nr. 11, Fabrikat C, auf Wahrscheinlichkeitsnetz gezeichnet $P=50\ \%$ -Ansprechspannung bei negativen Stössen $Q=5\ \%$ -Ansprechspannung bei positiven Stössen Weitere Bezeichnungen siehe Fig. 37

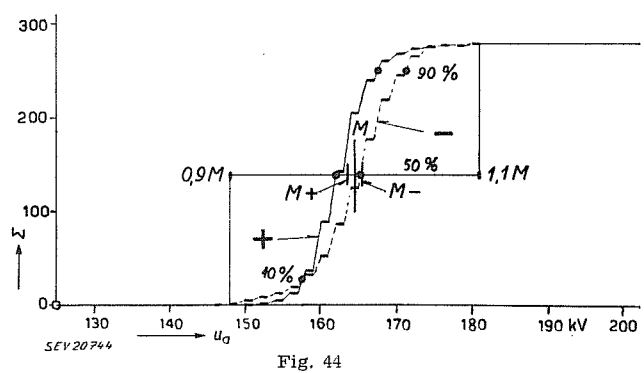


Summenhäufigkeit der Ansprechspannungen von Ableiter Nr. 12, Fabrikat C, auf Wahrscheinlichkeitsnetz gezeichnet Bezeichnungen siehe Fig. 37

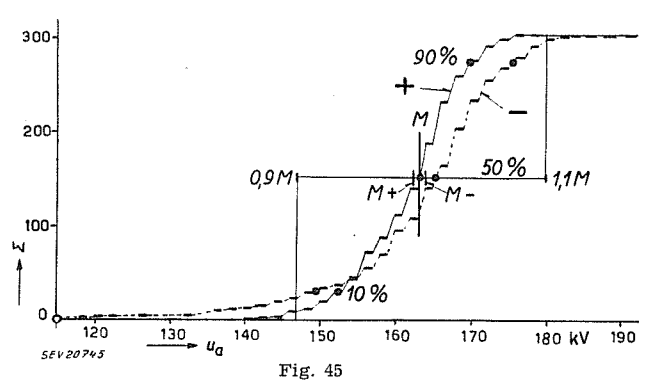


Summenhäufigkeit der Ansprechspannungen von Ableiter Nr. 1, Fabrikat A, in linearer Koordinatendarstellung u_a Ansprechspannung; \mathcal{E} Summenhäufigkeit des Ansprechens bei Spannungen unterhalb des Abzissenwertes M+ positiver Mittelwert der Ansprechspannung

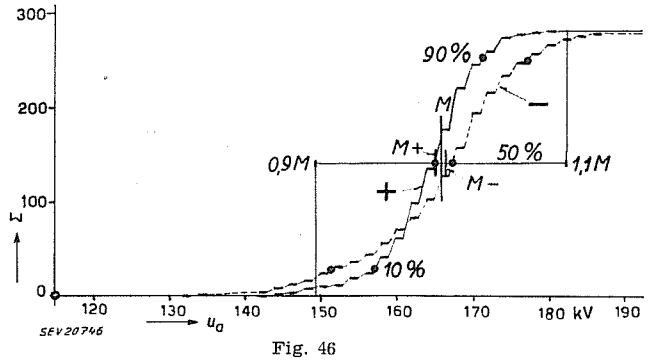
M+ positiver Mittelwert der Ansprechspannung
 M negativer Mittelwert der Ansprechspannung
 M Gesamt-Mittelwert der Ansprechspannung



Summenhäufigkeit der Ansprechspannungen von Ableiter Nr. 2, Fabrikat A, in linearer Koordinatendarstellung Bezeichnungen siehe Fig. 43

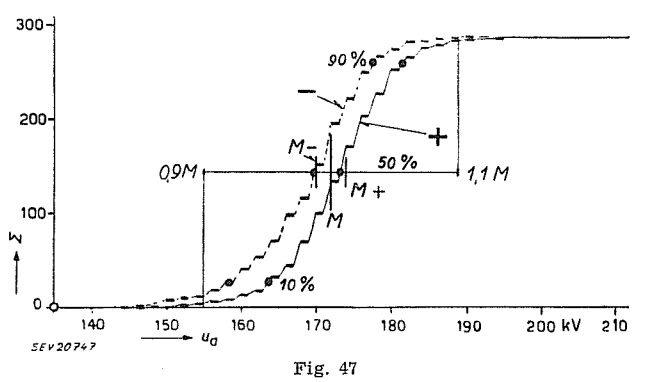


Summenhäufigkeit der Ansprechspannungen von Ableiter Nr. 6, Fabrikat B, in linearer Koordinatendarstellung Bezeichnungen siehe Fig. 43



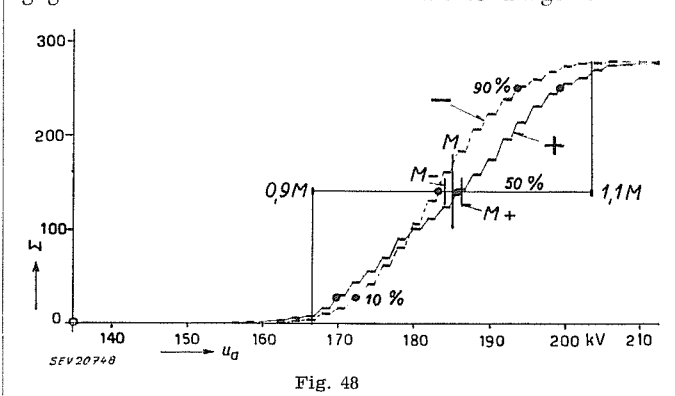
Summenhäufigkeit der Ansprechspannungen von Ableiter Nr. 7, Fabrikat B, in linearer Koordinatendarstellung Bezeichnungen siehe Fig. 43

lich, dass bei der Bemessung der Abstufung die volle, d. h. die unter variabler Luftdichte entstehende Streuung der Isolator-Überschlagspannun-



Summenhäufigkeit der Ansprechspannungen von Ableiter Nr. 11, Fabrikat C, in linearer Koordinatendarstellung Bezeichnungen siehe Fig. 43

gen zu berücksichtigen ist. In den Kurven der Isolatoren und offenen Funkenstrecken sind demgegenüber stets die reduzierten Werte dargestellt.



Summenhäufigkeit der Ansprechspannungen von Ableiter Nr. 12, Fabrikat C, in linearer Koordinatendarstellung Bezeichnungen siehe Fig. 43

SEV20749

Dabei liegt im Ausdruck «voll bemessen» immer noch die Möglichkeit, sich mit einem wirtschaftlich gerechtfertigten Prozentsatz von Versagern abzufinden, d. h. die Abstufung nicht vollkommen, sondern wirtschaftlich optimal zu machen.

Bei der Betrachtung des Überspannungsschutzes einer Hochspannungsanlage erhebt sich die weitere Frage, wie sich ein grosser Komplex von Isolatoren aller Art im Laufe der Zeit verhält. Zunächst ist bei Stossversuchen in Anlagen festgestellt worden, dass die 50-%-Überschlagspannung einer Vielzahl von n unter sich genau gleichen Isolatoren 10...15 % tiefer

liegt als die 50-%-Überschlagspannung eines einzelnen sol-

Fig. 49 Überschlagspannung des Stützisolators und zweier Stabfunkenstrecken in Funktion der Steilheit der Stoßspannung ua Ansprechspannung

- Steilheit der Stoßspannung
- Stützilosator nach Fig. 2
 - Messpunkte bei positivem Stoss (Kurve 1)
- Messpunkte bei negativem Stoss

chen Isolators.

- b) Stabfunkenstrecke nach Fig. 6 Messpunkte bei positivem Stoss (Kurve 2)
 - Messpunkte bei negativem
- c) symmetrierte Stabfunkenstrecke
- Messpunkte bei positivem Stoss (Kurve 3)
- Messpunkte bei negativem Stoss (Kurve 4)

Dieses Resultat ist sofort verständlich, wenn das Problem wahrscheinlichkeitstheoretisch betrachtet wird. Dies ist nötig, stellt doch bereits der Begriff der 50-%-Spannung einen Wahrscheinlichkeitsbegriff dar, in welchem zum Ausdruck kommt, dass die Überschlagspannung streut, und dass je nach deren Höhe prozentual mehr oder weniger Überschläge entstehen, von 0 % bis zu 100 %. Werden z. B. zwei parallele Isolatoren mit einer Spannung

des Überschlages an einer Vielzahl von n Isolatoren berechnen aus:

$$1 - p_1 = \sqrt[n]{1 - p_n}$$
 oder $p_1 = 1 - \sqrt[n]{1 - p_n}$ (4)
Wenn z. B. $n = 100$ und $p_n = 50$ % ist, so ist

$$p_1 = 1 - \sqrt[100]{0.5} = 1 - 0.993 \approx 0.007$$

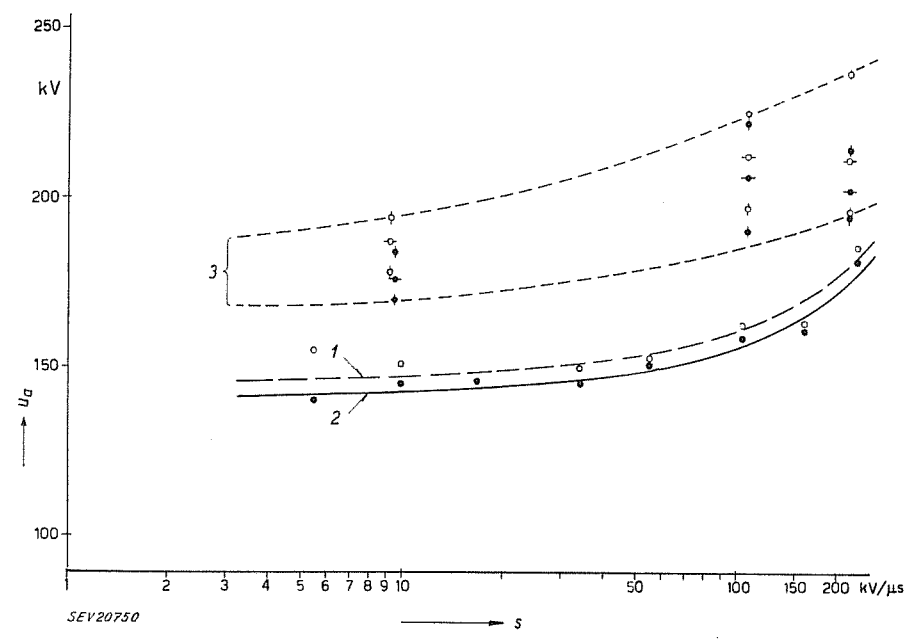


Fig. 50 Ansprechspannung zweier Kugelfunkenstrecken in Funktion der Steilheit der Stoßspannung

- u_a Ansprechspannung
- s Steilheit der Stoßspannung
- Kugelfunkenstrecke von 125 mm ϕ nach Fig. 5
 - Messpunkte bei positivem Stoss (Kurve 2)
- vem Stoss (Kurve 2)
 o Messpunkte bei negati-
- vem Stoss (Kurve 1) b Kugelfunkenstrecke von 250 mm ø nach Fig. 4
- Messpunkte bei positi-
- vem Stoss
- o Messpunkte bei negati-
- vem Stoss
- 3 Streubereich

gestossen, die an einem der beiden Isolatoren, wenn er allein wäre, 50 % Überschläge und 50 % Nichtüberschläge ergäbe, so heisst diese Spannung die 50-%-Überschlagspannung eines Isolators. Werden beide Isolatoren zugleich gestossen, so wird einer der beiden bei 50 % der Stösse zum Überschlag kommen. Bei den restlichen 50 % der Stösse besteht jetzt jedoch die Möglichkeit, dass der zweite Isolator überschlägt. Es werden nur 25 % aller Stösse zu keinem Überschlag, weder am ersten noch am zweiten Isolator führen. Die 50-%-Spannung eines Isolators ist also die 75-%-Überschlagspannung von zwei Isolatoren. Es lässt sich so zeigen, dass die Wahrscheinlichkeit p_n des Überschlages an irgendeinem Isolator in einer Parallelschaltung von n Isolatoren sich wie folgt berechnet 2):

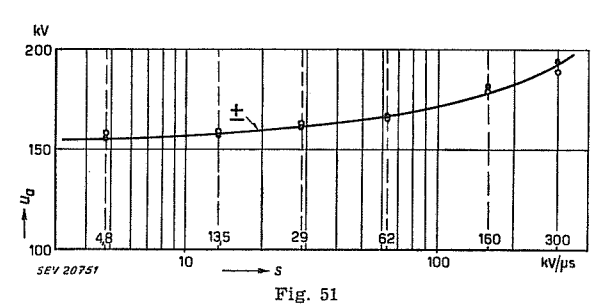
$$p_n = 1 - (1 - p_1)^n \tag{3}$$

- wo p_1 Wahrscheinlichkeit des Überschlages beim Stossen eines einzelnen Isolators
 - p_n Wahrscheinlichkeit des Überschlages beim gleichzeitigen Stossen von n Isolatoren
 - n Anzahl zugleich gestossene Isolatoren
- p_n ist stets grösser als p_1 . Wenn z. B. n = 100 $p_1 = 50$ %, so ist z. B.

$$p_n = 1 - 0.5^{100} \approx 1 - 10^{-30} \approx 1.0$$

Es wird somit praktisch bei jedem Stoss ein Überschlag auftreten. Umgekehrt lässt sich die Wahrscheinlichkeit p_1 des Überschlages eines einzelnen gestossenen Isolators aus der Wahrscheinlichkeit p_n

Zur 50-%-Spannung der Anlage gehört somit hier die 0,7-%-Spannung eines Isolators. Das heisst praktisch: Die 50-%-Spannung einer Anlage erzeugt bei der Prüfung eines Einzelisolators weniger als 1 % Überschläge an diesem; sie wäre technisch schon mit dem ungenauen Ausdruck «Haltespannung» zu bezeichnen.

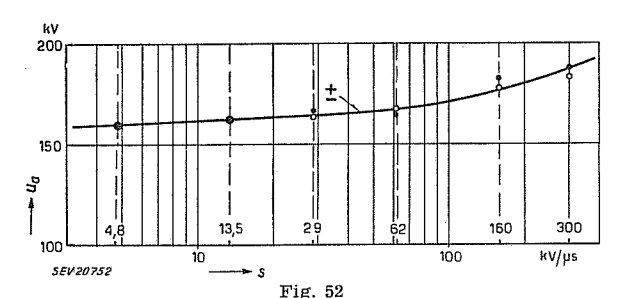


Ansprechspannung u_a des Ableiters Nr. 2, Fabrikat A, in Funktion der Steilheit s der Stoßspannung

Betrachten wir nun andererseits die Streuung der Überschlagspannung einer Vielzahl gleicher Isolatoren, d. h. einer «Anlage», dann lässt sich physikalisch vermuten, dass ausgehend z. B. von der 50-%-Spannung der Anlage bei steigender Stoßspannung die Wahrscheinlichkeit eines Überschlages an irgendeinem der vielen (n) parallelen Isolatoren sofort gross wird, d. h. die Streuung vom 50-%-Wert bis zum 100-%-Wert ist offenbar kleiner als beim einzelnen Isolator. Wird umgekehrt die Stoßspannung reduziert, so sinkt die Wahrscheinlichkeit irgendeines Überschlages zunächst ebenfalls rasch,

²⁾ siehe CIGRE-Bericht 1952, Nr. 322 von H. Rohrer.

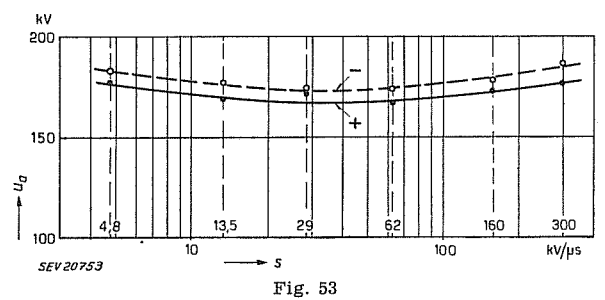
doch lässt sich nicht ohne weiteres einsehen, was weiter passiert. Die Darstellung der nach den vorstehenden Gleichungen berechneten Wahrscheinlichkeitskurven, wie sie im erwähnten CIGRE-Bericht dargestellt wurden, ergibt interessanterweise für n > 1 im Wahrscheinlichkeitsnetz keine Gerade mehr, wenn auch für n = 1 eine solche Gerade entsprechend der Gaußschen Verteilung besteht. Entsprechend obiger Überlegung zeigen die Kurven jenes Berichts, dass der Unterschied der 95-%oder 99-%-Spannungen grösser ist als der Unterschied der 5-%- oder 1-%-Spannungen, wenn ein Isolator und viele parallele Isolatoren verglichen werden. Da es sich bei der Koordination darum handelt. Überschläge an den Isolatoren zu vermeiden, ist die Haltespannung der Isolatoren in erster Linie interessant. Gerade für diese lässt sich aber leider nicht ohne weiteres angeben, ob ihre Streuung kleiner wird als beim Einzelisolator.



Ansprechspannung u_a des Ableiters Nr. 7, Fabrikat B, in Funktion der Steilheit s der Stoßspannung

Es ist hier nicht der Ort, diese theoretisch interessanten Fragen zu diskutieren. Festgehalten zu werden verdient hier nur die praktische Konsequenz, dass in der Anlage die Überschlagspannung merklich kleiner wird als beim Einzelisolator, dass aber anderseits die Streuung der Anlage theoretisch nicht grösser wird als beim Einzelisolator. Es wäre ohne Zweifel wertvoll und interessant, Streuversuche statt an Einzelisolatoren direkt an einer Vielzahl gleicher Isolatoren durchzuführen. Die vorstehenden Versuche lassen das Resultat abschätzen, wie bereits dargelegt wurde.

Aus den Versuchen geht jedenfalls erneut hervor, wie wichtig es ist, das Spannungsintervall zwischen Schutzniveau der Ableiter und Isolationsniveau der Schlagweiten in Luft genügend gross zu dimensionieren, um eine Koordination in den Anlagen durchzuführen, und wieviel einfacher es ist, lediglich z. B. einen Transformator mit einem angebauten Ableiter gegen Überspannungen zu schützen.



Ansprechspannung u_a des Ableiters Nr. 12, Fabrikat C, in Funktion der Steilheit s der Stoßspannung

Das in den heutigen Koordinationsregeln des SEV festgelegte Spannungsintervall von 25 % zwischen 50-%-Spannungen des Schutzniveaus und des Luftisolationsniveaus trägt weder der Absenkung der Überschlagspannung infolge der Vielzahl paralleler Isolatoren, noch der zeitlichen Streuung der Mittelwerte Rechnung, da zur Zeit der Herausgabe der Regeln diese Erscheinungen noch gar nicht bekannt waren. Die neue Erkenntnis entstand beim Stossen ganzer Anlagen mit der fahrbaren Anlage der FKH, welches Vorgehen sich als ausserordentlich fruchtbar erwiesen hat zur Verwirklichung der praktischen Koordination in bestehenden Anlagen, unter den während dieser Messung vorhandenen atmosphärischen Bedingungen, wobei automatisch alle Einflüsse der Entfernungen und Dispositionen der Anlageteile berücksichtigt werden.

Die besprochenen Messungen wurden in der Versuchsstation Gösgen der Forschungskommission für Hochspannungsfragen des SEV und VSE von E. Seylaz und H. Péter ausgeführt und zum grossen Teil ausgewertet, wofür ihnen auch an dieser Stelle herzlich gedankt sei.

Adresse des Autors:

Prof. Dr. sc. techn. K. Berger, Versuchsleiter der Forschungskommission des SEV und VSE für Hochspannungsfragen (FKH), Seefeldstrasse 301, Zürich 8.